



Негосударственное образовательное учреждение
высшего профессионального образования
Московский технологический институт «МТИ»

«УТВЕРЖДАЮ»

Проректор по учебной работе

к.э.н. Ильина О.Г.

« ____ » _____ 20__ г.

Методические рекомендации
к курсовой работе

ЭЛЕКТРИЧЕСКАЯ ЧАСТЬ СТАНЦИЙ И ПОДСТАНЦИЙ

Москва, 2011 г.

Оглавление

| | |
|---|----|
| Введение..... | 3 |
| 2 Исходные данные к проекту | 5 |
| 3 Принятые обозначения | 6 |
| 4 Построение графиков нагрузки подстанции | 8 |
| 4.1 Суточные графики нагрузок потребителей..... | 8 |
| 4.2 Суммарный (совмещенный) график нагрузок потребителей | 9 |
| 4.3 Годовой график по продолжительности нагрузок..... | 10 |
| 4.4 Техничко – экономические показатели, определяемые из графиков нагрузки | 10 |
| 4.5 График полной мощности подстанции..... | 11 |
| 5 Выбор числа и мощности трансформаторов и расчет на перегрузочную способность | 12 |
| 5.1 Построение эквивалентного двухступенчатого графика нагрузки подстанции | 13 |
| 5.2 Выбор трансформатора собственных нужд..... | 14 |
| 6 Выбор и обоснование электрической схемы подстанции | 15 |
| 7 Выбор марки и сечения проводов линий высокого и низкого напряжения | 16 |
| 8 Расчет токов аварийных режимов..... | 18 |
| 8.1 Расчет сопротивлений схем замещения системы, линии высокого напряжения, трансформаторов | 18 |
| 8.2 Расчет токов трехфазного короткого замыкания | 20 |
| 8.3 Расчет ударного тока трехфазного короткого замыкания | 20 |
| 9 Выбор токоведущих частей и электрического оборудования подстанции | 22 |
| 9.1 Выбор и проверка ошиновки распределительного устройства высокого напряжения .. | 22 |
| 9.2 Выбор и проверка ошиновки распределительного устройства низкого напряжения.... | 23 |
| 9.3 Выбор и проверка электрических аппаратов..... | 24 |
| 9.3.1 Выбор разъединителей..... | 25 |
| 9.3.2 Выбор выключателей | 25 |
| 9.3.3 Выбор ограничителей перенапряжения | 25 |
| 9.4 Контрольно-измерительная аппаратура | 26 |
| 9.4.1 Выбор трансформаторов тока | 26 |
| 9.4.2 Выбор трансформаторов напряжения | 27 |
| Список использованных источников | 29 |
| ПРИЛОЖЕНИЯ..... | 30 |

Введение

Методическое пособие содержит основные рекомендации, необходимые для выполнения курсового проекта студентами бакалаврами по направлению «Электроэнергетика».

Каждый раздел методического пособия имеет ссылки на соответствующую учебную литературу либо приложения, которые находятся в конце данного сборника.

Курсовой проект оформляется в виде расчетно-пояснительной записки, набранной на ПК в редакторе Word шрифтом Times New Roman, размер шрифта 14 кегль, 1,5 межстрочный интервал.

Желательный объем пояснительной записки 30-40 страниц формата А4.

Пояснительная записка составляется последовательно в соответствии с содержанием проекта. Текст проекта следует делить на разделы, подразделы. Заголовок и текст каждого раздела нужно начинать с новой страницы, а подраздела – с любой части страницы. Разделы и подразделы следует нумеровать арабскими цифрами и записывать с абзацного отступа с прописной буквы без точки в конце, выделяя жирным шрифтом.

Иллюстрации, таблицы должны иметь нумерацию соответствующего раздела, и пояснительные данные (Рис. 1- Блок-схема прибора). При переносе таблицы на другой лист над ней помещают слова «Продолжение таблицы» с указанием номера в левом верхнем углу.

Все расчеты должны иметь соответствующие объяснения и комментарии, а также ссылки на использованные источники, которые следует приводить в квадратных скобках.

Приложения оформляются как продолжение данного документа на последующих его листах. В тексте проекта должны быть ссылки на все приложения. Каждое приложение начинается с новой страницы с указанием наверху справа страницы слова «Приложение», его обозначения и наименования отдельной строкой. Приложения обозначают буквами русского алфавита начиная с А, за исключением: З,Й,О,Ч,Ь,Ы,Ъ,Ё.

При выполнении курсового проекта поля текста составляют: слева- 25 мм, сверху и снизу-20мм, справа-15 мм.

Нумерация страниц должна быть сквозной, первой страницей считается титульный лист, номер страницы на нем не ставится. Обозначение страниц начинается со второго листа.

Графическая часть проекта выполняется либо с помощью чертежных инструментов на двух листах формата А1, либо используя любой доступный студенту графический редактор.

На первом листе изображается схема электрических соединений проектируемой подстанции с обозначением всех элементов данной схемы в соответствии с ГОСТ 2.722-68 и ГОСТ 2.723-69.

На втором листе приводятся план-разрезы подстанции с нанесением всего электротехнического оборудования в соответствии с листом №1. Здесь же

указываются все необходимые размеры (по горизонтали и вертикали), нумерация оборудования и его спецификация.

Оформление пояснительной записки и графического материала должно отвечать требованиям МИ СМК 110.07а-2005.

2 Исходные данные к проекту

Исходные данные для разработки проекта студентом выбираются по прилагаемым таблицам в соответствии с трехзначным цифровым кодом -номером зачетной книжки (например -029).

| Третий знак кода | Тип подстанции | Тип ВЛ высокого напряжения | Напряжение ВЛ ВН, кВ | Длина ВЛ ВН, км | Расположение проводов, м |
|------------------|------------------|----------------------------|----------------------|-----------------|--------------------------|
| 0 | Проходная 110/10 | одноцепная | 110 | 80 | Горизонт, 3,5м |
| 1 | Тупиковая 110/10 | двухцепная | 110 | 60 | Треугольн., 3 м |
| 2 | Проходная 35/10 | одноцепная | 35 | 50 | Горизонт.2 м |
| 3 | Тупиковая 35/10 | двухцепная | 35 | 40 | Треугольн. 2,5м |
| 4 | Проходная 110/10 | одноцепная | 110 | 90 | Горизонт, 4 м |
| 5 | Тупиковая 110/10 | двухцепная | 110 | 70 | Треугольн.4,5 м |
| 6 | Проходная 35/10 | одноцепная | 35 | 30 | Треугольн.3 м |
| 7 | Тупиковая 35/10 | двухцепная | 35 | 25 | Горизонт,3,5 м |
| 8 | Проходная 110/10 | одноцепная | 110 | 100 | Горизонт.4 м |
| 9 | Тупиковая 110/10 | одноцепная | 110 | 60 | Треугольн.3,5 м |

| № п/п | Наименование потребителя | Максимальная мощность, МВт | Напряжение питающих линий, кВ | К-во питающих линий, | cosφ |
|-------|--|----------------------------|-------------------------------|----------------------|------|
| 1 | Сельскохозяйственный район | 2 | 10 | 2 | 0,85 |
| 2 | Населенный пункт | 3 | 10 | 3 | 0,87 |
| 3 | Машиностроительный завод | 4 | 10 | 4 | 0,83 |
| 4 | Предприятие по добыче угля | 7 | 10 | 4 | 0,78 |
| 5 | Предприятие цветной металлургии | 10 | 10 | 5 | 0,83 |
| 6 | Предприятие черной металлургии | 8 | 10 | 3 | 0,80 |
| 7 | Предприятие текстильной промышленности | 1 | 10 | 2 | 0,78 |
| 8 | Предприятие химической промышленности | 6 | 10 | 2 | 0,79 |
| 9 | Предприятие бумажной промышленности | 5 | 10 | 2 | 0,83 |
| 10 | Обогатительная фабрика | 9 | 10 | 3 | 0,85 |

| Первый Знак кода | 0 | 1 | 2 | 3 | 4 | 5 | 6 | 7 | 8 | 9 |
|-------------------------|-----|-----|-----|------|-----|------|-----|-----|-----|-----|
| S _{к.з.} , МВА | 750 | 800 | 700 | 1000 | 900 | 1100 | 850 | 580 | 650 | 950 |

| Второй знак кода | 0 | 1 | 2 | 3 | 4 | 5 | 6 | 7 | 8 | 9 |
|------------------|--------------|---------------|--------------|--------------|---------------|--------------|---------------|--------------|--------------|---------------|
| № потребителей | 1,3,5 7,9 | 2,4,6 8,10 | 1,4,5 7,9 | 2,5,6 7,8 | 1,2,6 9,10 | 3,5,6 8,9 | 2,3,6 7,10 | 1,3,4 6,7 | 5,6,7 8,9 | 2,6,7 8,10 |

3 Принятые обозначения

В данном курсовом проекте приняты следующие буквенные обозначения величин:

| | |
|----------------------------------|---|
| P | – активная мощность |
| Q | – реактивная мощность |
| S | –полная мощность |
| S_{\max} | –максимальная полная мощность |
| $S_{\text{с.н.}}$ | -полная мощность собственных нужд |
| P_{\max} | -максимальная активная мощность |
| $P_{\text{расч.}}$ | - расчетная активная мощность |
| $P_{\text{ср.}}$ | – средняя активная мощность |
| P_i | – мощность i -ой ступени графика активной нагрузки |
| $\Delta P_{\text{пер.}}$ | - переменные потери активной мощности |
| $\Delta P_{\text{пост.}}$ | – постоянные потери активной мощности |
| $\Delta P_{\text{с.н.}}$ | – потери активной мощности на собственные нужды |
| W_{Π} | - активная энергия, отпущенная потребителям с шин подстанции |
| $k_{\text{зап.}}$ | -коэффициент заполнения графика нагрузки |
| T_{\max} | - продолжительность использования максимальной нагрузки |
| $\text{tg}\varphi_{\text{с.в.}}$ | – средневзвешенный коэффициент мощности |
| $S_{\text{н.тр.}}$ | – номинальная мощность трансформатора |
| $S_{\text{экв.1}}$ | – эквивалентная нагрузка трансформатора за 10 часовой период предшествующий перегрузу |
| $S_{\text{экв.2}}$ | - эквивалентная нагрузка трансформатора за период перегрузки |
| $I_{\max.}$ | – максимальный рабочий ток |
| $j_{\text{эк.}}$ | – экономическая плотность тока |
| $F_{\text{эк}}$ | - экономическое сечение проводника |
| $I_{\text{доп.}}$ | – длительно допустимый ток |
| E_{\max} | – максимальная напряженность |
| E_0 | – критическая напряженность |
| r_0, X_0 | –удельные активное и индуктивное сопротивления |
| R, X | – активное и индуктивное сопротивления |
| X_c | – индуктивное сопротивление системы |
| $S_{\text{к.з.}}$ | – мощность короткого замыкания |
| $\Delta P_{\text{к.з.}}$ | –потери короткого замыкания трансформатора |
| $U_{\text{к}}^{\%}$ | –напряжение короткого замыкания трансформатора |
| $U_{\text{с.н.}}$ | – средне-номинальное напряжение |
| $U_{\text{нн (вн) с.н.}}$ | – средне-номинальное напряжение ступени низшего напряжения (высшего напряжения) |
| $Z_{\Sigma \text{К}}$ | –полное сопротивление то точки КЗ |
| I_{Π} | – начальное значение периодической составляющей тока КЗ |

| | |
|----------------------|---|
| i_y | – ударный ток КЗ |
| k_y | – ударный коэффициент |
| T_a | – постоянная времени затухания апериодической составляющей тока КЗ |
| $X_{рез.}, R_{рез.}$ | – результирующие индуктивное и активное сопротивления до точки КЗ |
| ω | – угловая частота |
| $I_{доп.ном.}$ | – допустимый номинальный ток при +25 °С |
| v_o | – действительная температура воздуха |
| v_k | – расчетная температура проводника при КЗ |
| $v_{к.доп.}$ | – допустимая температура проводника при КЗ |
| v_n | – температура проводника до КЗ |
| $v_{доп.}$ | – длительно допустимая температура проводника |
| $v_o ном.$ | – номинальная температура воздуха +25 °С |
| f_k | – сложная функция температуры проводника при протекании тока КЗ |
| f_n | – сложная функция температуры проводника до возникновения тока КЗ |
| Q | – сечение проводника |
| V_k | – импульс квадратичного тока (интеграл Джоуля) при КЗ |
| f | – наибольшее удельное усилие при трехфазном КЗ |
| M | – изгибающий момент |
| W | – момент сопротивления проводника |
| σ | – напряжение в материале проводника |
| $U_{сети ном.}$ | – номинальное напряжение сети в месте установки аппарата |
| U_n | – номинальное напряжение аппарата |
| $I_{норм.расч.}$ | – расчетный ток нормального режима |
| I_n | – номинальный ток аппарата |
| $i_{пр.скв.}$ | – предельно сквозной ток |
| $I_{тер.}$ | – ток термической стойкости аппарата |
| $t_{тер.}$ | – время протекания тока термической стойкости аппарата |
| $I_{откл.ном.}$ | – номинальный ток отключения выключателя |
| $I_{1н}$ | – номинальный ток первичной обмотки трансформатора тока |
| $i_{дин.}$ | – ток динамической стойкости трансформатора тока (ТТ) |
| Z_2 | – полное расчетное сопротивление вторичной цепи ТТ |
| $Z_2 ном.$ | – допустимое полное сопротивление вторичной цепи ТТ |
| S_2 | – расчетная полная мощность вторичной цепи трансформатора напряжения (ТН) |
| $S_2 ном.$ | – допустимая полная мощность вторичной цепи ТН |

4 Построение графиков нагрузки подстанции

Электрическая нагрузка отдельных потребителей, а следовательно и суммарная их нагрузка, определяющая режим работы подстанций (электростанций в энергосистеме), непрерывно меняется. Этот факт принято отражать графиком нагрузки, то есть диаграммой изменения мощности (тока) на шинах подстанции во времени.

По виду фиксируемого параметра различают графики активной P (МВт), реактивной Q (мвар), полной (кажущейся) S (МВА) мощностей и тока I (А) на шинах подстанции.

Как правило, графики отражают изменение нагрузки за определенный период времени. По этому признаку их подразделяют на суточные (24 ч.), сезонные (зима, лето) и годовые по продолжительности.

По месту назначения или элементу энергосистемы, к которому они относятся, графики можно разделить на следующие группы:

- Графики нагрузки потребителей, определяемые на шинах подстанции;
- Сетевые графики нагрузки – на шинах районных и узловых подстанций;
- Графики нагрузки энергосистемы, характеризующие результирующую нагрузку энергосистемы;
- Графики нагрузки электростанций;

4.1 Суточные графики нагрузок потребителей

Фактический график нагрузки может быть получен с помощью регистрирующих приборов, которые фиксируют изменения соответствующего параметра во времени.

Кроме максимальной активной мощности (P_{\max}), для построения графика необходимо знать характер изменения нагрузки потребителя во времени, который можно определить в соответствии с заданием на разработку курсового проекта из типовых графиков силового максимума в процентах в течение суток (зима, лето), которые приведены на рисунках А1-А8 в приложении А.

Для удобства расчетов график выполняется ступенчатым. Наибольшая возможная за сутки нагрузка принимается за 100%, а остальные ступени графика показывают относительное значение нагрузки для данного времени суток.

При известной $P_{\text{расч.}}$ можно перевести типовой график в график нагрузки заданного потребителя, согласно задания, используя соотношение для каждой ступени графика [4]:

$$P_i = n_i^{\%} \cdot P_{\text{расч.}} / 100 \text{ (МВА)},$$

где $n_i^{\%}$ - ордината соответствующей ступени типового графика, в %.

$P_{\text{расч}}$ - расчетная мощность предприятия согласно задания, МВт.

В курсовом проекте суточные типовые графики нагрузки предприятий по сезонам (зима, лето), необходимо перевести в соответствующие графики нагрузки P_i (МВт) предприятий, используя выше указанную формулу, а результаты представить в таблицах Б1-Б2 приложения Б.

По результатам расчетов в таблицах Б1-Б2 необходимо построить графики сезонных суточных нагрузок для предприятий согласно варианту задания на курсовой проект в координатах: ось абсцисс – время в часах, а ось ордината – мощность в МВт.

4.2 Суммарный (совмещенный) график нагрузок потребителей

Этот график определяется с учетом потерь мощности на подстанции.

Потери мощности зависят от:

- протекания тока по обмоткам трансформаторов, которые являются переменными величинами, зависящими от нагрузки ($\Delta P_{пер}$).
- постоянную часть потерь мощности определяют в основном потери холостого хода трансформаторов ($\Delta P_{пост.}$).
- потери на собственные нужды зависят от параметров трансформатора и типа подстанции ($\Delta P_{с.н.}$).

Суммируя значения мощностей i^x -ступеней графиков нагрузки всех потребителей и потери мощности на подстанции для каждой ступени, получают суммарный (совмещенный) график нагрузки подстанции для сезонов (зима, лето) согласно выражения:

$$P_{nc(i)}^{\Sigma} = P_{(i)} + \Delta P_{пост.} + \Delta P_{пер.} + \Delta P_{с.н.} \quad \text{МВА},$$

где $P_{(i)}$ – суммарная мощность всех предприятиями i -ступени из раздела 1.1

$\Delta P_{пост.}$ – постоянные потери, которые составляют 1% от P_{max} ,

где P_{max} – максимальное значение активной мощности i -ступени совмещенного графика [4,9];

$$\Delta P_{пост.} = 0,01 P_{max} \quad \text{МВА},$$

$\Delta P_{с.н.}$ – потери на собственные нужды, составляют 0,5% от P_{max}

$$\Delta P_{с.н.} = 0,005 P_{max} \quad \text{МВА},$$

$\Delta P_{пер}$ – переменные потери, зависящие от значения мощности каждой ступени и вычисляются по формуле [4,9]:

$$\Delta P_{пер} = P_{(i)}^2 / 10 \times P_{max} \quad \text{МВА}.$$

Расчет суммарных графиков нагрузки потребителей (зима, лето) на шинах подстанции свести в таблицы В1-В2 приложения В.

По результатам конечной суммы $P_{nc(i)}^{\Sigma}$ таблиц В1-В2 приложения В для сезонов года (зима, лето) строятся графики суммарной (совмещенной) нагрузки подстанции с учетом потерь.

4.3 Годовой график по продолжительности нагрузок

Этот график показывает длительность работы установки в течение года с различными нагрузками. По оси ординат откладывают нагрузки в соответствующем масштабе, по оси абсцисс – часы года от 0 до 8760. Нагрузки на графике располагают в порядке их убывания от P_{\max} до P_{\min} .

Принято, что длительность сезонных времен года зима и лето составляют соответственно 200 и 165 дней.

Построение годового графика по продолжительности нагрузок производится на основании известных суммарных суточных графиков нагрузки зимнего и летнего периода, полученных в разделе 1.2.

График по продолжительности нагрузок применяют в расчетах технико – экономических показателей установки, расчетах потерь электроэнергии, при оценке использования оборудования в течение года и т.д.

Значение активной мощности i -ступени графика по продолжительности определяется проекцией соответствующих ординат суммарных суточных графиков нагрузки зимнего и летнего периода на ось ординат искомого графика, а длительность этой ступени графика по продолжительности T_i рассчитывается по [4]:

$$T_i = t_i^{\text{зима}} \times 200 + t_i^{\text{лето}} \times 165 \text{ ч,}$$

где $t_i^{\text{зима}}$ и $t_i^{\text{лето}}$ длительность i -ступени суточного зимнего и летнего суммарного графиков нагрузки (см.раздел 1.2).

4.4 Техничко – экономические показатели, определяемые из графиков нагрузки

Площадь, ограниченная кривой графика активной нагрузки, численно равна *энергии, отпущенной с шин подстанции* потребителям за рассматриваемый период (год) [4]:

$$W_{\text{п}} = \sum P_i \times T_i \text{ МВт} \times \text{ч,}$$

где P_i – мощность i - ступени графика

T_i – продолжительность ступени.

Средняя нагрузка по графику за рассматриваемый период (год) равна:

$$P_{\text{ср}} = W_{\text{п}} / T \text{ МВт,}$$

где: T – длительность рассматриваемого периода

$W_{\text{п}}$ – электроэнергия за рассматриваемый период

Степень неравномерности графика работы электроустановки оценивают **коэффициентом заполнения**.

$$k_{\text{зан}} = W_{\text{п}} / P_{\text{max}} \cdot T = P_{\text{ср}} / P_{\text{max}}$$

Коэффициент заполнения графика нагрузки показывает, во сколько раз отпущенное с шин количество электроэнергии за рассматриваемый период меньше того количества электроэнергии, которое было бы отпущено с шин подстанции за то же время, если бы нагрузка установки все время была бы максимальной. Очевидно, что чем равномернее график, тем ближе значение $k_{\text{зап}}$ к единице.

Для характеристики графика нагрузки подстанции можно воспользоваться величиной *продолжительность использования максимальной нагрузки*

$$T_{\text{max}} = W_n / P_{\text{max}} = P_{\text{cp}} \cdot T / P_{\text{max}} = k_{\text{зап}} \times T \quad \text{ч.}$$

Эта величина показывает, сколько часов за рассматриваемый период T (обычно год) установка должна была бы работать с неизменной максимальной нагрузкой, чтобы отпустить с шин подстанции действительное количество электроэнергии W_n за этот период времени.

4.5 График полной мощности подстанции

Построение графика полной мощности подстанции необходимо для выбора и проверки на перегрузочную способность трансформаторов на подстанции.

Для этого необходимо произвести расчет средневзвешенного коэффициента мощности нагрузки для каждой ступени графика нагрузки - $\text{tg } \varphi_{\text{св}(i)}$ по [8]:

$$\text{tg } \varphi_{\text{св}(i)} = P_{1(i)} \cdot \text{tg } \varphi_1 + P_{2(i)} \cdot \text{tg } \varphi_2 + \dots / \sum P_{1-n(i)}$$

Далее вычисляется полная мощность с учетом выше найденных средневзвешенных коэффициентов для каждого часа графика полной мощности подстанции по [8]:

$$S_{(i)} = P_{\Sigma(i)} \times \sqrt{1 + \text{tg}^2 \varphi_{\text{св}(i)}} \quad \text{МВА,}$$

где $P_{\Sigma(i)}$ - сумма активных мощностей i -ступени графика полной мощности подстанции по разделу 1.2.

По полученным значениям мощностей $S_{(i)}$ строится график полной мощности подстанции.

5 Выбор числа и мощности трансформаторов и расчет на перегрузочную способность

Число трансформаторов, устанавливаемых на подстанциях всех категорий принимается, как правило, не более двух. При установке двух трансформаторов и отсутствия резервирования по сетям низшего напряжения мощность каждого из них выбирается с учетом загрузки трансформатора не более 70% от суммарной максимальной нагрузки подстанции в номинальном режиме [1].

Мощность трансформатора на подстанции должна быть такой, чтобы при выходе из работы одного из них второй воспринял основную нагрузку подстанции с учетом допускаемой перегрузки в послеаварийном режиме и возможного временного отключения потребителей третьей категории. В соответствии с существующей практикой проектирования мощность трансформаторов на подстанции рекомендуется выбирать из условия допустимой перегрузки в послеаварийных режимах до 40% на время максимума по условию [1,3]:

$$S_{н.тр.} \geq S_{max} / 1,4 \quad \text{МВА,}$$

где S_{max} - максимальная расчетная мощность подстанции по расчету раздела 1.5

По таблице Г1 (приложения Г) принимается ближайшая трансформаторная мощность и тип трансформатора [9,11].

При выборе мощности трансформатора нельзя руководствоваться только их номинальной мощностью, так как в реальных условиях температура окружающей среды, условия установки трансформатора могут быть отличными от принятых. Нагрузка трансформатора меняется в течение суток, и если мощность выбрать по максимальной нагрузке, то в периоды спада ее трансформатор будет не загружен, т.е. недоиспользована его мощность. Опыт эксплуатации показывает, что трансформатор может работать часть суток с перегрузкой, если в другую часть суток его нагрузка меньше номинальной. Критерием различных режимов является износ изоляции трансформатора.

Нагрузочная способность трансформатора – это совокупность допустимых нагрузок и перегрузок.

Допустимая нагрузка – это длительная нагрузка, при которой расчетный износ изоляции обмоток от нагрева не превосходит износ, соответствующий номинальному режиму работы.

Перегрузка трансформатора – режим, при котором расчетный износ изоляции обмоток превосходит износ, соответствующий номинальному режиму работы. Такой режим возникает, если нагрузка окажется больше номинальной мощности трансформатора или температура окружающей среды больше принятой расчетной.

номинальной мощности возможны за счет неравномерности нагрузки течении суток.

На графике полной мощности подстанции (смотри раздел 1.5) откладывается

прямая линия, соответствующая номинальной мощности принятого трансформатора. Верхняя часть графика, отсекаемая данной прямой, является зоной перегрузки трансформатора.

5.1 Построение эквивалентного двухступенчатого графика нагрузки подстанции

Для подсчета допустимой систематической перегрузки трансформатора действительный график преобразуется в эквивалентный двухступенчатый [4,9].

При преобразовании исходного графика нагрузки в эквивалентный график нагрузки рассматриваются три случая:

1- исходный график имеет один максимум (*тепловой импульс-площадь ограниченная линией номинальной мощности трансформатора и ординатой мощности графика*).

В этом случае длительность предшествующего десятичасового периода откладывается до начала периода перегрузки.

2- исходный график имеет два максимума, причем больший по тепловому импульсу следует за меньшим.

В этом случае величина и длительность перегрузки определяется по параметрам большего максимума, а меньший максимум учитывается в эквивалентной начальной нагрузке предшествующего десятичасового периода, т.е. длительность десятичасового периода откладывается в сторону меньшего максимума по тепловому импульсу.

3- исходный график имеет два максимума, причем меньший по тепловому импульсу следует за большим.

В этом случае величина и длительность перегрузки определяется по параметрам большего максимума, а меньший максимум учитывается в эквивалентной начальной нагрузке, которая определяется по десятичасовому периоду, следующему за большим максимумом, т.е. длительность десятичасового периода также откладывается в сторону меньшего максимума по тепловому импульсу.

Эквивалентная нагрузка трансформатора на рассматриваемом интервале времени определяется по уравнению [9]:

$$S_{\text{экв.1}} = \sqrt{\frac{S_1^2 t_1 + S_2^2 t_2 + \dots + S_{10}^2 t_{10}}{t_1 + t_2 + \dots + t_{10}}} \quad \text{МВА,}$$

где: $S_{\text{экв.1}}$ - эквивалентная нагрузка трансформатора за десятичасовой период.

$S_1 - S_{10}$ - нагрузка трансформатора за десятичасовой период.

$t_1 - t_{10}$ - длительность ступеней нагрузки десятичасового периода графика полной нагрузки подстанции.

$$S_{\text{экв.2}} = \sqrt{\frac{S_i^2 t_i + \dots + S_n^2 t_n}{t_i + \dots + t_n}} \quad \text{МВА,}$$

где $S_{\text{экв.2}}$ - эквивалентная нагрузка трансформатора за период перегрузки.
 $S_i - S_n$ - мощности графика нагрузки подстанции в период перегрузки.
 $t_i - t_n$ - длительность ступеней перегрузки.

Для получения эквивалентного двухступенчатого графика значения мощностей для десятичасового периода предшествующего перегрузке и периоду перегрузки откладываются на графике полной мощности подстанции.

Далее определяются коэффициенты начальной нагрузки k_1 и k_2 - превышения нагрузки по [9]:

$$k_1 = S_{\text{экв.1}} / S_{\text{н.тр.}}, \quad k_2 = S_{\text{экв.2}} / S_{\text{н.тр.}}$$

Далее по графикам на рисунках Д1 и Д2 (приложения Д) при известных k_1 и длительности перегрузки ($t_i - t_n$) = $t_{\text{пер.}}$ определяется коэффициент допустимой перегрузки $k_{2\text{дон}}$. Если окажется, что $k_{2\text{дон}} \geq k_2$, то трансформатор может систематически перегружаться по данному графику нагрузки. В противном случае необходимо предусмотреть меры по снижению нагрузки трансформатора, если это возможно, либо принять трансформатор следующей ступени мощности.

5.2 Выбор трансформатора собственных нужд

Подстанции средней мощности (единичная мощность до 63 МВА) проектируются с питанием цепей защиты, управления, сигнализации на переменном оперативном токе.

Приемниками энергии системы собственных нужд подстанции являются: электродвигатели системы охлаждения трансформаторов; устройства обогрева масляных выключателей и шкафов с установленными в них электрическими аппаратами и приборами; электрическое отопление и освещение, системы пожаротушения.

Установленную мощность трансформатора собственных нужд (ТСН) подстанции можно найти по формуле [8]:

$$S_{\text{с.н.}} = 0,05 S_{\text{max.}} \text{ МВА,}$$

где S_{max} - см.раздел 1.5

По приложению Г или [7,9] принимается типовая мощность ТСН.

Для повышения надежности электроснабжения цепей собственных нужд трансформатор присоединяется к выводу низкого напряжения силового трансформатора на участке между трансформатором и выключателем ввода. На двухтрансформаторных подстанциях рекомендуется устанавливать два трансформатора собственных нужд напряжением 10/0,4 кВ.

6 Выбор и обоснование электрической схемы подстанции

Выбор главной схемы является определяющим при проектировании электрической части подстанции, так как он определяет полный состав элементов и связей между ними. Схема электрических соединений проектируемой подстанции должна удовлетворять следующим требованиям:

- а) иметь достаточную надежность;
- б) быть простой, наглядной;
- в) быть экономичной;
- г) иметь возможность расширения.

На подстанции устанавливают, как правило, не более двух трансформаторов с автоматическим устройством изменения коэффициента трансформации под нагрузкой (см. задание). Схема открытого распределительного устройства высокого напряжения (ОРУ ВН) должна быть без сборных шин. На стороне низкого напряжения схема закрытого распределительного устройства (ЗРУ НН) принимается с одной системой сборных шин. При наличии ответственных потребителей шины секционируются выключателем. Здесь же принимается тип ячеек распределительного устройства по [6,7,9,11].

Режим работы трансформаторов двухтрансформаторных подстанций должен быть обоснован. Для снижения токов аварийного режима рекомендуется использовать раздельную работу трансформаторов.

Схема ОРУ ВН подстанции получающей питание по двум линиям (см. задание) должна предусматривать схему «мостика» с автоматической или неавтоматической перемычкой.

Схема электрических соединений подстанции комплектуется с учетом блочно-модульного принципа с учетом современных схемных решений [17].

Примеры выполнения таких схем приведены в приложениях М и Н.

В пояснительной записке приводится описание и выбор схемного решения, а на листах №1,2 (формат А1) принята схема электрических соединений подстанции (лист №1) и план-разрез подстанции (лист №2).

7 Выбор марки и сечения проводов линий высокого и низкого напряжения

В линиях электропередачи напряжением 10-110 кВ как правило используется провод марки АС [1].

Сечения проводов линий высокого и низкого напряжения в нормальном режиме определяются по экономической плотности тока [1,10].

Экономическое сечение проводника линии вычисляется по формуле [10]

$$F_{\text{эк.}} = \frac{I_{\text{max}}}{j_{\text{эк.}}} \text{ мм}^2,$$

где I_{max} - максимальный ток нормального рабочего режима

$j_{\text{эк.}}$ - экономическая плотность тока, зависящая от материала проводника и T_{max} [1,9].

Максимальный ток нормального рабочего режима определяется по выражению:

$$I_{\text{max}} = \frac{S_{\text{max}}}{\sqrt{3} U_{\text{ВН}} n} \text{ А},$$

где S_{max} - максимальная расчетная мощность подстанции, МВА

$U_{\text{ВН}}$ -напряжение питающей линии, кВ (по заданию).

n - количество цепей питающей линии (по заданию).

По значению экономического сечения принимается ближайшее стандартное сечение проводника, приложение Е или [7,9,11].

Выбранное сечение должно удовлетворять условию нагрева [1]:

$$I_{\text{max}} \leq I_{\text{доп}} ,$$

где $I_{\text{доп}}$ - длительно допустимый ток провода по [7,9,11], приложение Е.

7.1 Проверка сечения проводника по условию короны

Проверка по условиям короны необходима для гибких проводников напряжением 35 кВ и выше [1,4,7].

Правильный выбор сечения проводника обеспечивает уменьшение действия короны до допустимых значений. Провода не будут коронировать если максимальная напряженность поля у поверхности любого провода будет не более $0,9 E_0$ [4,7] т.е.

$$E_{\text{max}} \leq 0,9 E_0 \text{ кВ/см - при расположении проводов в}$$

треугольник

$1,07 E_{\text{max}} \leq 0,9 E_0 \text{ кВ/см - при горизонтальном расположении}$
проводников.

Максимальная напряженность поля у поверхности нерасщепленного провода:

$$E_{\max} = \frac{0,354U}{r_o \lg \frac{D_{cp.}}{r_o}} \text{ кВ/см,}$$

где U - линейное напряжение, кВ

r_o – радиус провода, см

$D_{cp.}$ – среднее геометрическое расстояние между проводами фаз, см

$$D_{cp.} = \sqrt[3]{D_{1-2}D_{2-3}D_{1-3}} ,$$

где D_{1-2} , D_{2-3} , D_{1-3} - расстояние между соседними фазами [1,4,7].

Начальное значение критической напряженности электрического поля:

$$E_o = 30,3m \left(1 + \frac{0,299}{\sqrt{r_o}} \right) \text{ кВ/см,}$$

где m – коэффициент, учитывающий шероховатость поверхности провода, в расчете принять $m=0,82$.

8 Расчет токов аварийных режимов

Основной причиной аварийных режимов в электроустановках являются трехфазные, двухфазные, двухфазные на землю и однофазные короткие замыкания.

Расчеты аварийных режимов при проектировании электрической установки необходимы для выбора подстанционной аппаратуры и проверки токоведущих частей на их термическую и электродинамическую стойкость, а также для расчета релейной защиты и заземляющих устройств.

В курсовом проекте разработчику необходимо произвести расчет токов трехфазного короткого замыкания на стороне высокого (точка K_1) и низкого напряжения (точка K_2) трансформаторной подстанции.

высокого напряжения - трансформаторная подстанция - в однолинейном исполнении.

Все элементы этой сети должны быть представлены своими схемами замещения. На этих схемах приводятся активные и индуктивные сопротивления элементов, по которым возможно протекание токов короткого замыкания.

Пример такой схемы замещения приведен на рисунке 5.1

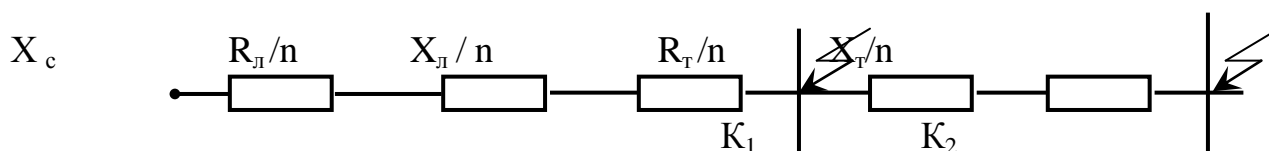


Рисунок 5.1- Схема замещения для расчета токов КЗ

На рисунке 5.1: X_c , X_l , X_T - индуктивные сопротивления системы, линии высокого напряжения, трансформаторов.

R_l , R_T - активные сопротивления линии высокого напряжения, трансформаторов.

n - количество цепей линии высокого напряжения, трансформаторов на подстанции.

Расчет токов короткого замыкания выполняется в системе именованных единиц [2,5].

8.1 Расчет сопротивлений схем замещения системы, линии высокого напряжения, трансформаторов

При коротком замыкании на шинах высокого напряжения трансформаторной подстанции (точка K_1).

Индуктивное сопротивление системы определяется по выражению [2,3,4,5]:

$$X_c = \frac{(U_{с.н.})^2}{S_{К.З.}} \quad \text{Ом,}$$

где $U_{с.н.}$ - средне - номинальное напряжение ступени короткого

замыкания (37,0 кВ, 115 кВ- принимается в соответствии с напряжением проекта по заданию)

$S_{к.з.}$ – мощность короткого замыкания по заданию, МВА.

Активное сопротивление линии электропередачи высокого напряжения [2,3,4,5]:

$$R_l = r_0 \cdot L \text{ Ом}$$

Реактивное сопротивление линии высокого напряжения [2,3,4,5]:

$$X_l = x_0 \cdot L \text{ Ом}$$

где L - длина линии электропередачи по заданию, км;

r_0, x_0 – удельные активные и индуктивные сопротивления провода, Ом/км по [9,11], либо таблице Е2, приложения Е.

Активное сопротивление трансформатора R_T [2,3,4,5]:

$$R_T = \frac{\Delta P_{к.з.} \cdot U_{с.н.}^2 \cdot 10^3}{S_n^2} \text{ Ом},$$

где $\Delta P_{к.з.}$ – потери короткого замыкания трансформатора, кВт (принимаются по разделу 2 и приложению Г)

$U_{с.н.}$ – средне-номинальное напряжение обмотки высокого напряжения трансформатора, кВ.

S_n - номинальная мощность трансформатора, МВА.

Индуктивное сопротивление трансформатора [2,3,4,5]:

$$X_T = \frac{U_{к.з.}^{\%} \cdot U_{с.н.}^2 \cdot 10}{S_n} \text{ Ом},$$

где $U_{к.з.}^{\%}$ - напряжение короткого замыкания трансформатора, % (приложение Г)

При коротком замыкании на шинах низкого напряжения трансформаторной подстанции (точка K_2), индуктивное сопротивление системы определяется по выражению:

$$X_c^* = \frac{(U_{с.н.})^2}{S_{к.з.}} \text{ Ом},$$

где $U_{с.н.}$ – средне-номинальное напряжение ступени короткого замыкания-10,5 кВ.

Активное сопротивление линии электропередачи высокого напряжения [2,5]:

$$R_l^* = R_l \left(\frac{U_{с.н.}^{н.н.}}{U_{с.н.}^{в.н.}} \right)^2 \text{ Ом},$$

$$X_l^* = X_l \left(\frac{U_{с.н.}^{н.н.}}{U_{с.н.}^{в.н.}} \right)^2 \text{ Ом},$$

где $U_{с.н.}^{н.н.}$ и $U_{с.н.}^{в.н.}$ – средне-номинальные напряжения на стороне обмоток низкого и высокого напряжения трансформатора.

Активное сопротивление трансформатора R_T :

$$R_T^* = \frac{\Delta P_{к.з.} \cdot U_{с.н.}^2 \cdot 10^3}{S_H^2} \text{ Ом},$$

Индуктивное сопротивление трансформатора :

$$X_T^* = \frac{U_{к.з.}^{\%} \cdot U_{с.н.}^2 \cdot 10}{S_H} \text{ Ом},$$

где $U_{с.н.}$ – средне-номинальное напряжение обмотки низкого напряжения трансформатора.

В случае применения на подстанции трансформатора с расщепленной обмоткой низшего напряжения корректировку его сопротивления при определении тока КЗ в точке К2 производить по формулам [3]:

$$X_{в.т.} = X_{вн-нн} \left(1 - \frac{K_P}{4} \right); \quad X_{н.т1} = X_{н.т2} = X_{вн-нн} \left(\frac{K_P}{2} \right),$$

где $X_{вн-нн} = X_T^*$; K_P – коэффициент расщепления, для трехфазных трансформаторов-3,5.

Суммарное сопротивление цепи трансформатора при КЗ на шинах низшего напряжения: $X_T = X_{вт} + X_{нг1(нг2)}$.

Результирующее сопротивление до точки короткого замыкания К1:

$$Z_{\Sigma K1} = \sqrt{(X_c + X_l)^2 + R_l^2} \text{ Ом}.$$

Результирующее сопротивление до точки короткого замыкания К2:

$$Z_{\Sigma K2} = \sqrt{(X_c^* + X_l^* + X_T^*)^2 + (R_l^* + R_T^*)^2} \text{ Ом}.$$

8.2 Расчет токов трехфазного короткого замыкания

Начальное значение периодической составляющей тока трехфазного короткого замыкания в т.т. К1 и К2 определяется по выражению [2,5]:

$$I^{(3)}_{п(к1)} = \frac{U_{с.н.}^{в.н.}}{\sqrt{3}Z_{\Sigma K1}} \quad \text{и} \quad I^{(3)}_{п(к2)} = \frac{U_{с.н.}^{н.н.}}{\sqrt{3}Z_{\Sigma K2}} \text{ А}.$$

8.3 Расчет ударного тока трехфазного короткого замыкания

Максимальное значение полного тока –ударный ток возникает в сети примерно через 0,01 с после начала процесса короткого замыкания. При этом считается, что периодическая составляющая тока не претерпевает существенных изменений и остается равной, как и в начальный момент. При этом учитывается лишь затухание апериодической составляющей тока короткого замыкания. На основании этого ударный ток определится [2,4,5]:

$$i_y = \sqrt{2} I^{(3)}_{п} k_y \quad A,$$

где k_y - ударный коэффициент, определяемый по выражению [2,5]:

$$k_y = 1 + e^{-\frac{0,01}{T_a}},$$

где T_a – постоянная времени затухания аperiodической составляющей тока короткого замыкания, которая может быть определена по формуле:

$$T_a = \frac{X_{рез.}}{\omega R_{рез.}},$$

где $X_{рез.}$, $R_{рез.}$ – соответственно результирующие (суммарные) индуктивные и активные сопротивления до точек К.З. (т.т. К1 и К2).

$\omega = 2\pi f$ – угловая частота, ($f=50$ Гц).

9 Выбор токоведущих частей и электрического оборудования подстанции

Выбор необходимого оборудования производится на основании принятой схемы электрических соединений (раздел 3.1). В распределительных устройствах напряжением 35 кВ и выше применяются гибкие шины, выполненные проводами марки АС

9.1 Выбор и проверка ошиновки распределительного устройства высокого напряжения

В случае выполнения ошиновки гибкими проводниками их сечение принимается , как правило, равным сечению провода линии высокого напряжения. Согласно ПУЭ, сборные шины электроустановок и ошиновки в пределах открытых и закрытых РУ всех напряжений по экономической плотности тока не проверяются [1]

В зависимости от принятой схемы распределительного устройства сечение гибкой ошиновки проверяется по допустимому току нагрева (см.раздел 4). Выбор сечения шин производится по условию нагрева.

$$I_{max} \leq I_{доп}$$

В данном выражении $I_{доп}$ должен быть определен с поправкой на температуру воздуха , отличной от принятой в таблицах (+25 °С) по выражению:

$$I_{доп} = I_{доп.н.о.м.} \sqrt{\frac{70 - v_o}{45}} \text{ А,}$$

где v_o - действительная температура воздуха (см.задание).

Выбранное сечение проверяется на термическую стойкость при протекании тока КЗ по [1,4]:

$$v_k \leq v_{к.доп.},$$

где v_k - расчетная температура нагрева шины током короткого замыкания

$v_{к.доп.}$ - допустимая температура нагрева шины при коротком замыкании (для алюминиевых гибких и жестких шин -200°С, медных-300°С [4,7]).

Для определения расчетной температуры проводника предварительно находится температура проводника до момента возникновения КЗ- v_n . по [4]:

$$v_n = v_o + (v_{доп.} - v_{о.н.о.м.}) \left(\frac{I_{max}}{I_{доп.}} \right)^2 \text{ } ^\circ\text{C,}$$

где $v_{доп.}$ -длительно допустимая температура проводника +70°С.

$v_{о.н.о.м.}$ - номинальная температура воздуха +25°С.

По кривой (Приложение И), используя V_n , определяем сложную функцию температуры проводника до момента возникновения КЗ – f_n .

Сложная функция температуры проводника, при протекании тока КЗ определится по:

$$f_k = f_n + \frac{kB_k}{g^2},$$

где B_k - импульс квадратичного тока КЗ, определяемый как:

$$B_k = I_{\Pi}^{(3)2} (t_{откл.} + T_a) \text{ кА}^2 \text{ с},$$

$I_{\Pi}^{(3)}$ - начальное значение периодической составляющей тока трехфазного короткого замыкания в т.т. К1 и К2 (см.раздел 5.2).

$$t_{откл.} = t_{р.з.} + t_{откл. в} = (0,16 \div 0,2) \text{ с},$$

$t_{р.з.}$ – время действия основной релейной защиты

$t_{откл. в}$ – полное время отключения выключателя

k – коэффициент учитывающий удельное сопротивление и эффективную теплоемкость проводника (алюминиевые шины, провода, кабели – 1,054; то-же с медными жилами-0,4570).

g – сечение проводника, мм^2 .

По кривой (Приложение И), используя f_k определяем конечное значение температуры проводника в режиме короткого замыкания V_k . Если окажется, что $V_k \leq V_{к.дон.}$ то проводник термически стоек.

Согласно ПУЭ, гибкие проводники на электродинамическую стойкость не проверяются [1,3,4]. Однако, если если $i_y \geq 20$ кА такие проводники должны быть проверены на схлестывание [4].

9.2 Выбор и проверка ошиновки распределительного устройства низкого напряжения

В случае выполнения схемы распределительного устройства жесткой ошиновкой ее сечение определяется согласно вышеприведенной методики. В отличие от гибкой ошиновки она дополнительно проверяется на электродинамическую стойкость [1,3,4]. Жесткие шины, закрепленные на изоляторах, представляют собой динамическую колебательную систему, находящуюся под воздействием электродинамических сил. Наибольшее удельное усилие при трехфазном КЗ определяется по [4,7]:

$$f = \sqrt{3} \frac{i_y^2}{a} 10^{-7} \text{ Н/м},$$

где i_y – ударный ток трехфазного КЗ – А (определен выше)

a – расстояние между соседними фазами, м.

Равномерно распределенная сила f создает изгибающий момент M .

$$M = f l^2 / 10 \text{ Нм},$$

где l – длина пролета между опорными изоляторами шинной конструкции, м.

Напряжение в материале шины, возникающее при воздействии изгибающего момента

$$\sigma_{расч.} = \frac{M}{W} \text{ МПа},$$

где W – момент сопротивления шины на изгиб, см³ (Приложение К).

Шины электродинамически устойчивы если:

$$\sigma_{расч.} \leq \sigma_{доп.},$$

где $\sigma_{доп.}$ – допустимое механическое напряжение в материале шины (Приложение К).

9.3 Выбор и проверка электрических аппаратов

В соответствии с принятой схемой электрических соединений подстанции в курсовом проекте необходимо произвести выбор и проверку следующих аппаратов:

На стороне высокого напряжения подстанции – разъединители, выключатели, ограничители перенапряжения, контрольно-измерительная аппаратура (трансформаторы тока и напряжения, измерительные приборы).

На стороне низкого напряжения подстанции – определить тип ячеек ЗРУ, в которых установлено: разъединители, выключатели, ограничители перенапряжения, контрольно-измерительная аппаратура (трансформаторы тока и напряжения, измерительные приборы).

При выборе аппаратов следует учесть возможность появления в схеме электроснабжения подстанции утяжеленного режима.

Рабочий ток утяжеленного режима находится при отключении одного из параллельно работающих трансформаторов с учетом аварийно допустимой перегрузки оставшегося в работе, либо при отключении одной из питающих линий. При выборе коммутационной аппаратуры следует учитывать современное развитие коммутационной техники. На ОРУ высокого напряжения использовать воздушные (элегазовые), вакуумные выключатели. В ЗРУ низкого напряжения вакуумную технику, Основные технические параметры коммутационных аппаратов приведены [9,11,12,13,14,15,16] либо в Приложении Л.

Перед выбором коммутационных аппаратов необходимо учесть род установки – наружный или внутренний. Аппараты внутренней установки предназначены для работы в закрытых распределительных устройствах, а также в закрытых ячейках ЗРУ. Аппараты наружной установки предназначены для работы в открытых распределительных устройствах.

Выбранные электрические аппараты проверяют на устойчивость в режиме короткого замыкания по методике приведенной ниже.

При выборе коммутационных аппаратов следует ориентироваться на установку в одном распределительном устройстве однотипных аппаратов, что упрощает их эксплуатацию.

В курсовом проекте достаточно произвести расчеты по выбору одного аппарата каждого наименования, работающего в наихудших условиях. Результаты выбора подстанционных аппаратов вносятся в расчетные таблицы (см. ниже).

9.3.1 Выбор разъединителей

Таблица 9.3.1- Параметры выбора разъединителя

| Параметры выбора * | Тип разъединителя | Расчетные данные | Каталожные данные |
|--|-------------------|------------------|-------------------|
| $U_{\text{сети.ном.}} \leq U_{\text{н}}, \text{ кВ}$ | | | |
| $I_{\text{норм.расч.}} \leq I_{\text{н}}, \text{ А}$ | | | |
| $i_{\text{у}} \leq i_{\text{пр.скв.}}, \text{ кА}$ | | | |
| $B_{\text{к}} \leq I_{\text{тер.}}^2 \cdot t_{\text{тер.}}, \text{ кА}^2 \cdot \text{с}$ | | | |

*- в правой части формул приведены расчетные данные в месте установки аппарата. В левой части данные по каталогу для выбираемого аппарата.

Время протекания тока термической стойкости $t_{\text{тер.}}$ принимается:

$t_{\text{тер.}} = 4 \text{ с}$ при $U_{\text{н}} \leq 35 \text{ кВ}$, $t_{\text{тер.}} = 3 \text{ с}$ при $U_{\text{н}} \geq 110 \text{ кВ}$.

9.3.2 Выбор выключателей

Таблица 9.3.2- Параметры выбора выключателя

| Параметры выбора | Тип выключателя | Расчетные данные | Каталожные данные |
|--|-----------------|------------------|-------------------|
| $U_{\text{сети.ном.}} \leq U_{\text{н}}, \text{ кВ}$ | | | |
| $I_{\text{норм.расч.}} \leq I_{\text{н}}, \text{ А}$ | | | |
| $i_{\text{у}} \leq i_{\text{пр.скв.}}, \text{ кА}$ | | | |
| $B_{\text{к}} \leq I_{\text{тер.}}^2 \cdot t_{\text{тер.}}, \text{ кА}^2 \cdot \text{с}$ | | | |
| $I_{\text{п}} \leq I_{\text{откл.ном.}}, \text{ кА}$ | | | |

9.3.3 Выбор ограничителей перенапряжения

Таблица 9.3.3 - Параметры выбора ограничителя перенапряжения

| Тип ограничителя перенапряжения | Место установки | Назначение | Способ установки |
|---------------------------------|-----------------|------------|------------------|
| | | | |

9.4 Контрольно-измерительная аппаратура

Количество электроизмерительной аппаратуры, устанавливаемой на подстанции, должно быть минимально возможным для облегчения обслуживания, упрощения и удешевления установки, но и достаточным для правильного ведения эксплуатации. Измерение переменного тока требуется в цепях силовых трансформаторов и в цепях отходящих линий электропередачи. Для измерений тока в трехфазной цепи следует применять один амперметр. Измерение напряжения производится на всех секциях сборных шин на стороне высокого и низкого напряжений силового трансформатора. Напряжение в каждом случае измеряется одним вольтметром с переключателем.

В электроустановках, работающих в режиме с изолированной нейтралью, необходимо предусмотреть устройство контроля изоляции. Для присоединения вольтметров контроля изоляции применяются трехфазный пятистержневой или три однофазных трансформатора напряжения.

Измерение энергии производится в цепях трансформатора на стороне высокого и низкого напряжений.

Счетчики учета активной энергии устанавливаются для определения количества электроэнергии, переданной через силовой трансформатор и израсходованной на собственные нужды, а также отпускаемой через отходящие линии.

Счетчики реактивной энергии устанавливаются, как правило, со стороны низшего напряжения трансформаторной подстанции через измерительные трансформаторы тока и напряжения класса точности 0,5.

9.4.1 Выбор трансформаторов тока

Таблица 9.4.1- Параметры выбора трансформатора тока

| Параметры | Тип трансформатора | Расчетные данные | Каталожные данные |
|--|--------------------|------------------|-------------------|
| $U_{\text{сети.ном.}} \leq U_{\text{н}}, \text{ кВ}$ | | | |
| $I_{\text{норм.расч.}} \leq I_{\text{1н}}, \text{ А}$ | | | |
| По конструкции и классу точности | | | |
| $i_{\text{в}} \leq i_{\text{дин.}}, \text{ кА}$ | | | |
| $B_{\text{к}} \leq I_{\text{тер.}}^2 \cdot t_{\text{тер.}}, \text{ кА}^2 \cdot \text{с}$ | | | |
| $Z_2 \leq Z_{2 \text{ ном.}}, \text{ Ом}$ | | | |

В силу того, что индуктивное сопротивление токовых цепей невелико, принимается $Z_2 \approx r_2$.

Общее сопротивление вторичной цепи трансформатора тока состоит из сопротивлений приборов, соединительных проводов и переходного сопротивления контактов:

$$r_2 = r_{\text{приб.}} + r_{\text{пр.}} + r_{\text{к.}}$$

Сопротивление приборов определяется по выражению:

$$r_{\text{приб}} = S_{\text{приб}} / I_{2н}^2,$$

где $S_{\text{приб}}$ – мощность потребляемая приборами (примерный перечень приборов дан в Приложении М).

$I_{2н}$ - вторичный номинальный ток трансформатора тока, 5 А.

Сопротивления контактов принимается 0,05 Ом при двух-трех измерительных приборах и 0,1 Ом при большем количестве приборов.

Сопротивление соединительных проводов зависит от их длины и сечения. При выполнении вышеуказанного условия необходимо, чтобы

$$r_{\text{пр}} = r_{2\text{ном.}} - r_{\text{приб.}} - r_{\text{к}}$$

Зная $r_{\text{пр}}$ можно определить сечение соединительных проводов:

$$q = \rho l_{\text{расч.}} / r_{\text{пр}} \text{ мм}^2,$$

где ρ - удельное сопротивление материала провода (медь- 0,0175; алюминий – 0,0283)

$l_{\text{расч}}$ – расчетная длина проводов, зависящая от схемы соединения трансформаторов тока (схема полной звезды $l_{\text{расч}} = l$, схема неполной звезды $l_{\text{расч}} = \sqrt{3}l$, где l – фактическая длина соединительных проводов от трансформаторов тока до приборов для разных систем напряжений: $l=(3-5)\text{м}$ при $U_{\text{н}}=10 \text{ кВ}$, $l=(50-60)\text{м}$ при $U_{\text{н}}=35 \text{ кВ}$, $l=(80-120)\text{м}$ при $U_{\text{н}}=110 \text{ кВ}$).

В качестве соединительных проводов применять многожильные контрольные кабели. По условию механической прочности минимальное сечение медной жилы 2,5 мм², алюминиевой 4 мм² [1,4].

9.4.2 Выбор трансформаторов напряжения

Таблица 9.4.2- Параметры выбора трансформатора напряжения

| Параметры выбора | Тип трансформатора напряжения | Расчетные данные | Каталожные данные |
|--|-------------------------------|------------------|-------------------|
| $U_{\text{сети.ном.}} \leq U_{\text{н}}, \text{ кВ}$ | | | |
| по конструкции и схеме соединения обмоток | | | |
| по классу точности | | | |
| $S_2 \leq S_{2\text{ном.}}$ | | | |

Расчетная нагрузка вторичной цепи трансформатора напряжения S_2 определяется суммой активной $\Sigma P_{\text{приб.}}$ и реактивной $\Sigma Q_{\text{приб.}}$ мощностей

присоединенных измерительных приборов и реле - ВА.

$$S_2 = \sqrt{\left(\sum S_{\text{приб} \bar{a}} \cos \varphi_{\text{приб} \bar{a}}\right)^2 + \left(\sum S_{\text{приб} \bar{a}} \sin \varphi_{\text{приб} \bar{a}}\right)^2} = \\ = \sqrt{P^2_{\text{приб} \bar{a}} + Q^2_{\text{приб} \bar{a}}} \quad \text{ВА.}$$

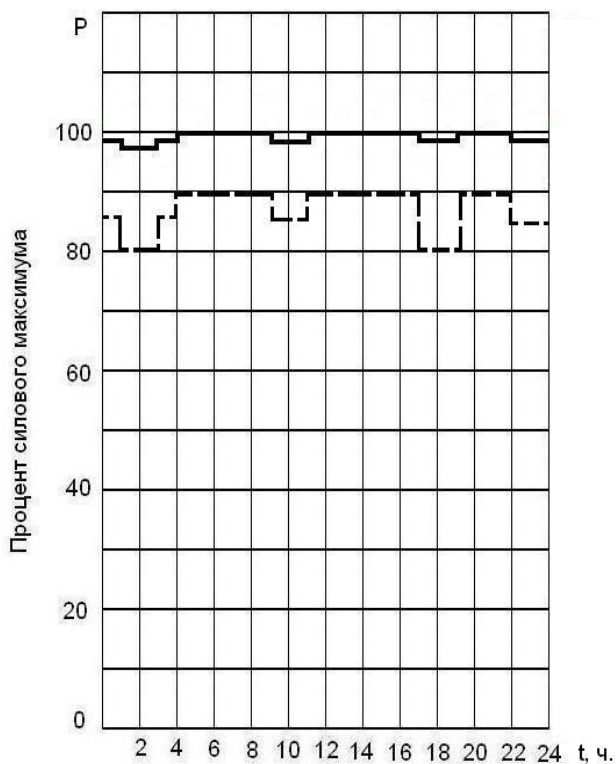
Если требуемое условие не выполняется в выбранном классе точности, то устанавливают второй трансформатор напряжения и часть приборов присоединяют к нему. По условию механической прочности минимальное сечение медной жилы $1,5 \text{ мм}^2$, алюминиевой $2,5 \text{ мм}^2$ [1,4].

Список использованных источников

1. Правила устройства электроустановок РК. Министерство энергетики и минеральных ресурсов РК, 2004
2. РД 153-34.0-20.527-98. Руководящие указания по расчету токов короткого замыкания и выбору электрооборудования/ под ред. Б.Н.Неклепаева.- М.:Изд-во НЦ ЭНАС, 2001
3. Конюхова Е.А. Электроснабжение объектов.-М.:Изд-во «Мастерство», 2001.
4. Рожкова Л.Д., Козулин В.С. Электрооборудование станций и подстанций.- М.:Энергоатомиздат, 1987
4. Ульянов С.А. Электромагнитные переходные процессы в электрических системах.-М.:Энергия, 1972
5. Лисовский Г.С., Хейфиц М.Э. Главные схемы и электротехническое оборудование подстанций 35-750.-М.: Энергия, 1977
6. Справочник по проектированию электроснабжения/под ред. Ю.Г. Барыбина, Л.Е. Федорова, М.Г. Зименкова, А.Г. Смирнова.- М.: Энергоатомиздат, 1990
7. Неклепаев Б.Н. Электрические станции .-М.: Энергия,1976
8. Электрическая часть электростанций и подстанций/ справочные материалы под ред. Б.Н. Неклепаева. -М.: Энергия, 1978
9. Мельников Н.А. Электрические сети и системы.-М.: Энергия, 1975
- 10.Справочник по электрическим установкам высокого напряжения/под ред. И.А.Баумштейна и М.В.Хомякова.-М.: Энергоиздат, 1981
- 11.Вакуумная коммутационная аппаратура. ФГУП «НПП Контакт», Россия г.Саратов, 2005
- 12.Высоковольтное оборудование. Карпинский электромашиностроительный завод, Россия г.Карпинск, 2005
- 13.Вакуумные выключатели ВВ/TEL, ОПН/TEL. Таврида Электрик, Россия г.Москва, 2005
- 14.3AQ2 High Voltage Circuit Breaker . Siemens, P.O. Box 32 20 D-91050 Erlangen. 2005
- 15.Gas-Insulated Switchgear from 72.5 to 800 kV. Box 32 20 D-91050 Erlangen.2005
- 16.Техническая документация ЗАО ПФ «КТП-Урал», ISO 9001:2000, Россия, Екатеринбург, 2005

ПРИЛОЖЕНИЯ

Приложение А Типовые графики нагрузок объектов



Суточные графики нагрузки для черной металлургии:

Рисунок А1- Суточный график нагрузки предприятия черной металлургии
 _____ зима, ----- лето

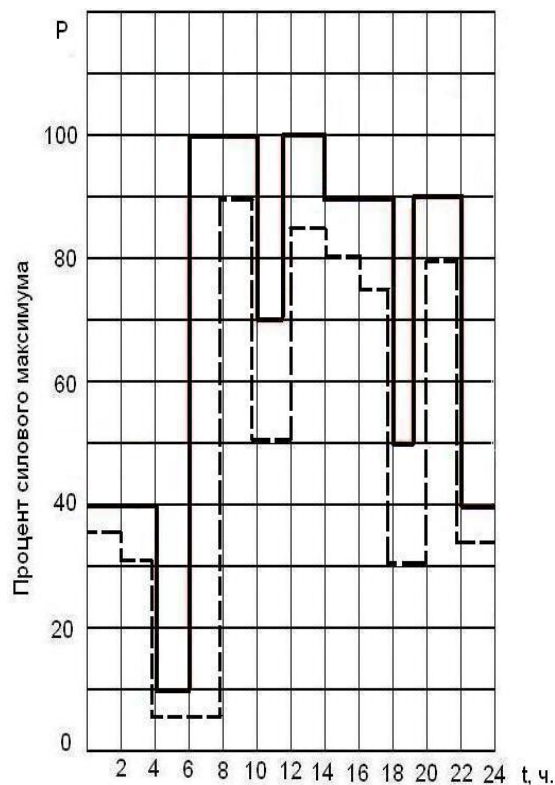


Рисунок А2- Суточный график нагрузки машиностроительного завода
 _____ зима, ----- лето

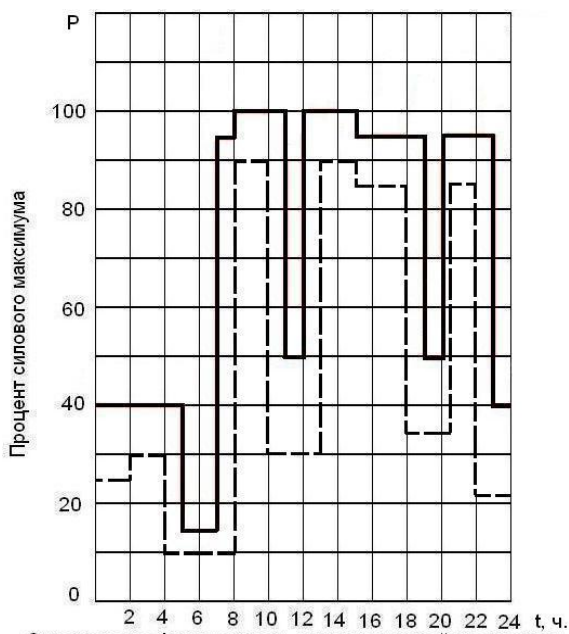


Рисунок А3- Суточный график нагрузки текстильной промышленности
 _____ зима, ----- лето

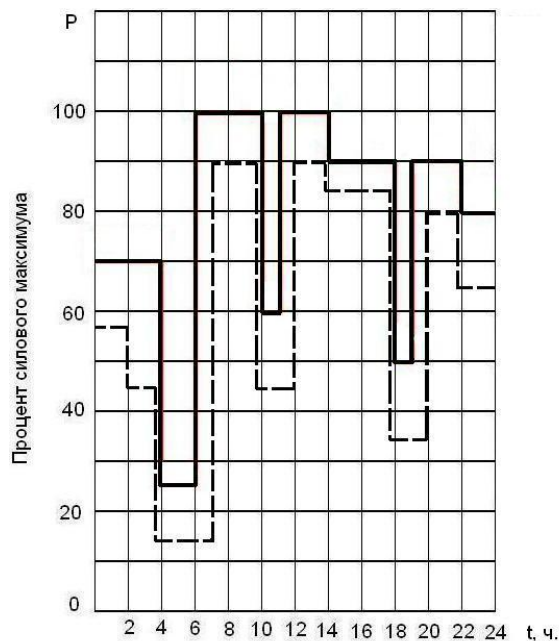


Рисунок А4- Суточный график нагрузки бумажной промышленности
 _____ зима, ----- лето

Приложение А

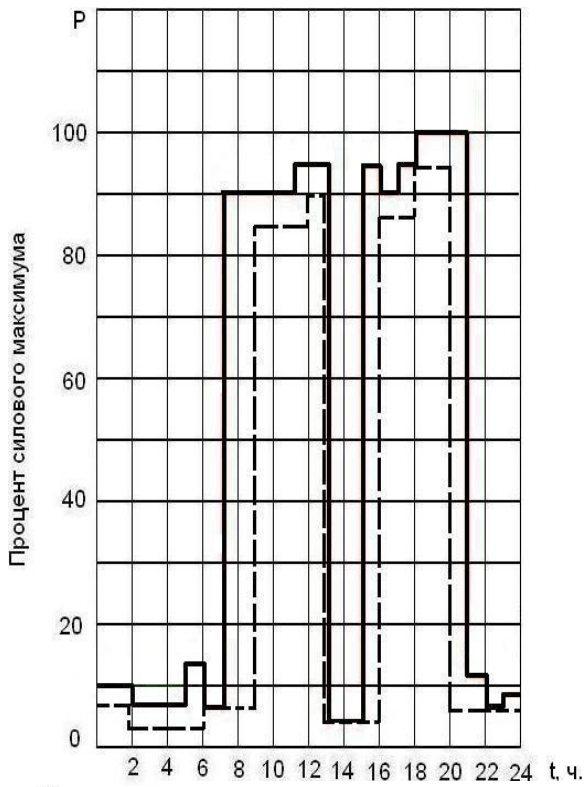


Рисунок А5- Суточные графики нагрузки предприятия угольной промышленности
 _____ зима, ----- лето

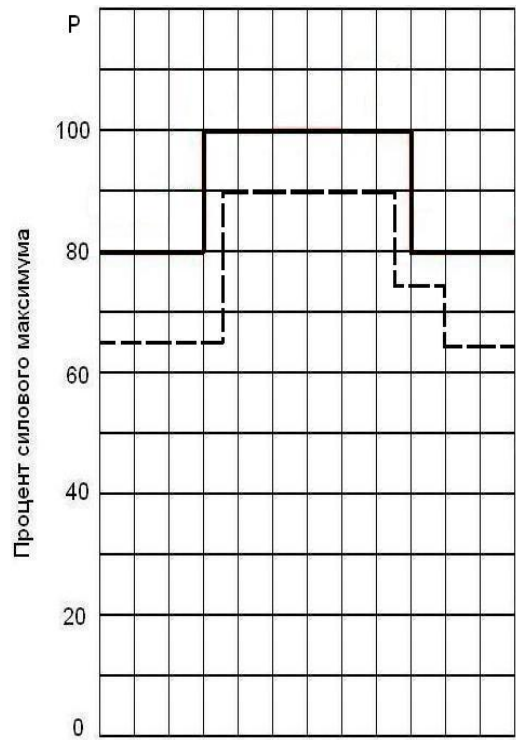


Рисунок А6- Суточные графики нагрузки предприятия цветной металлургии
 _____ зима, ----- лето

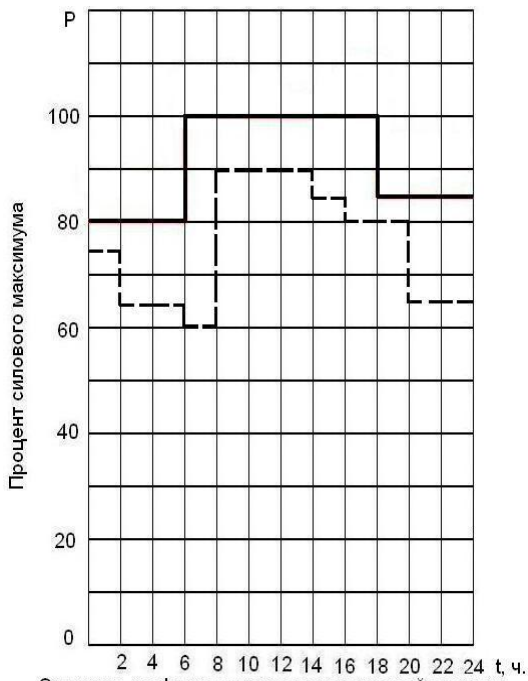


Рисунок А7- Суточные графики нагрузки предприятия химической промышленности
 _____ зима, ----- лето

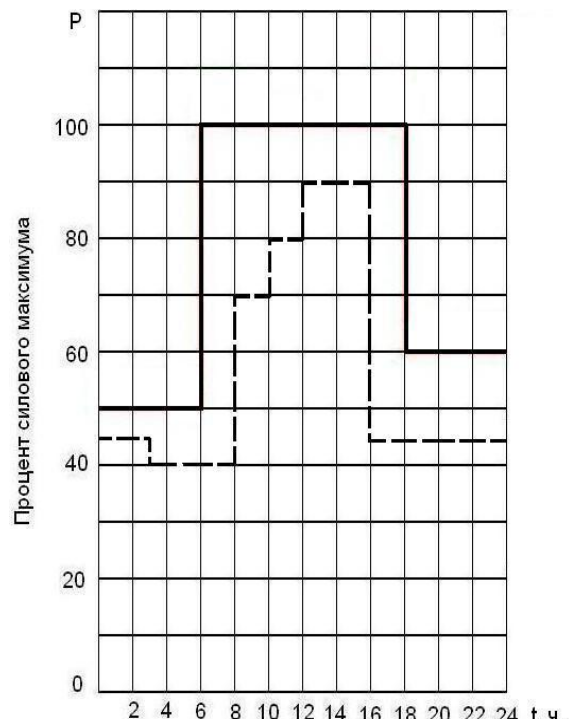
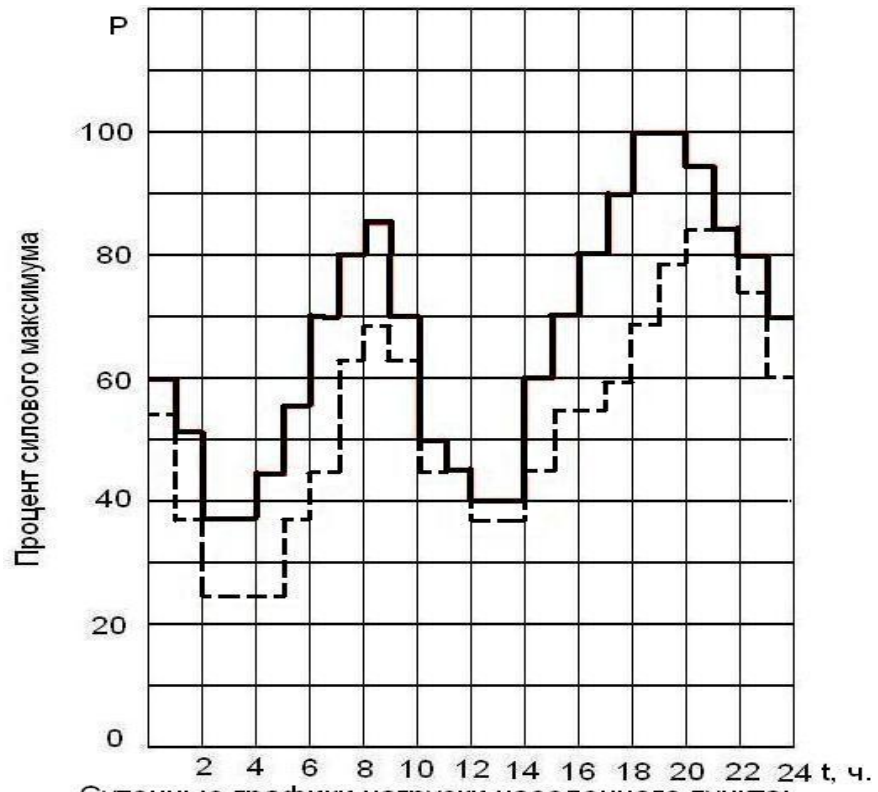


Рисунок А8- Суточные графики нагрузки предприятия по добыче и обогащению руд
 _____ зима, ----- лето



Средние графики нагрузки населенного пункта:

- Рисунок А9-Суточный график нагрузки населенного пункта.
 _____ зима, ----- лето

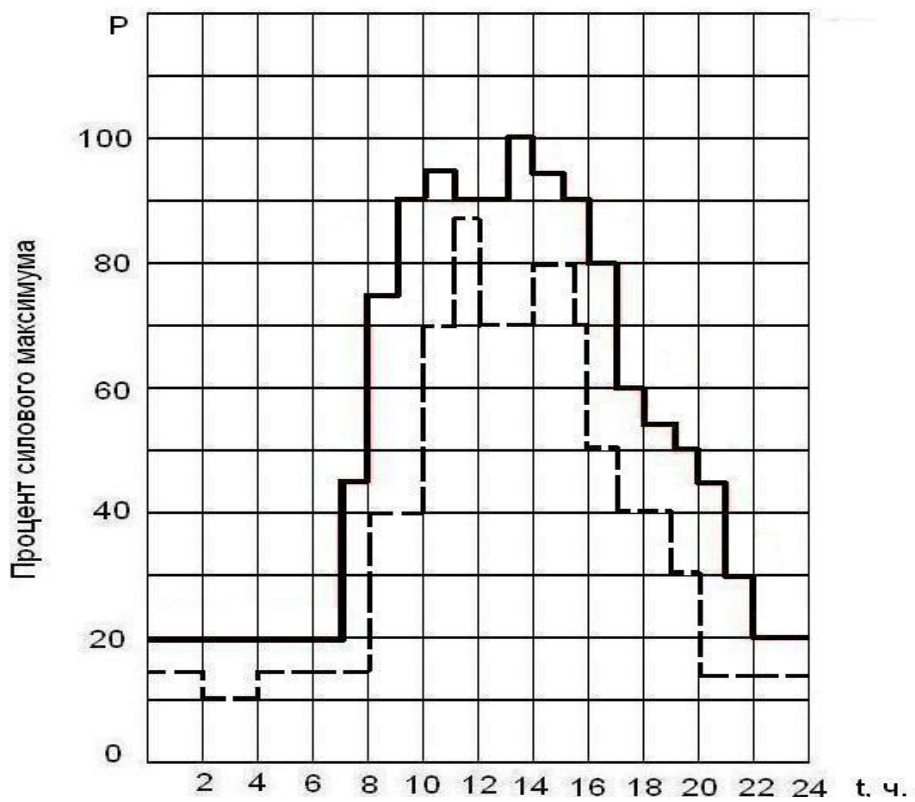


Рисунок А10-Суточный график нагрузки с.-х. района
 _____ зима, ----- лето

ПРИЛОЖЕНИЕ Б

Таблицы расчета сезонных графиков нагрузки предприятий

Таблица Б1 - Расчет зимнего графика нагрузки предприятия

| | | | | | | | | | | | | |
|--------------|--------------|--------------|--------------|--------------|--------------|--------------|--------------|--------------|--------------|--------------|--------------|-----------|
| 0-1 | 1-2 | 2-3 | 3-4 | 4-5 | 5-6 | 6-7 | 7-8 | 8-9 | 9-10 | 10-11 | 11-12 | Час |
| | | | | | | | | | | | | $n_{i\%}$ |
| | | | | | | | | | | | | P_i |
| 12-13 | 13-14 | 14-15 | 15-16 | 16-17 | 17-18 | 18-19 | 19-20 | 20-21 | 21-22 | 22-23 | 23-24 | Час |
| | | | | | | | | | | | | $n_{i\%}$ |
| | | | | | | | | | | | | P_i |

Таблица Б2 - Расчет летнего графика нагрузки предприятия

| | | | | | | | | | | | | |
|--------------|--------------|--------------|--------------|--------------|--------------|--------------|--------------|--------------|--------------|--------------|--------------|-----------|
| 0-1 | 1-2 | 2-3 | 3-4 | 4-5 | 5-6 | 6-7 | 7-8 | 8-9 | 9-10 | 10-11 | 11-12 | Час |
| | | | | | | | | | | | | $n_{i\%}$ |
| | | | | | | | | | | | | P_i |
| 12-13 | 13-14 | 14-15 | 15-16 | 16-17 | 17-18 | 18-19 | 19-20 | 20-21 | 21-22 | 22-23 | 23-24 | Час |
| | | | | | | | | | | | | $n_{i\%}$ |
| | | | | | | | | | | | | P_i |

ПРИЛОЖЕНИЕ В

Таблицы расчета суммарного (совмещенного) графика нагрузки подстанции

Таблица В1 - Суммарный летний график нагрузки подстанции

| 0-1 | 1-2 | 2-3 | 3-4 | 4-5 | 5-6 | 6-7 | 7-8 | 8-9 | 9-10 | 10-11 | 11-12 | Лето, часы |
|-------|-------|-------|-------|-------|-------|-------|-------|-------|-------|-------|-------|-----------------------------|
| | | | | | | | | | | | | $P_{(i)}$ |
| | | | | | | | | | | | | $\Delta P_{\text{пост}}$ |
| | | | | | | | | | | | | $\Delta P_{\text{с.н}}$ |
| | | | | | | | | | | | | $\Delta P_{\text{пер}}$ |
| | | | | | | | | | | | | $P^{\Sigma}_{\text{пс}(i)}$ |
| 12-13 | 13-14 | 14-15 | 15-16 | 16-17 | 17-18 | 18-19 | 19-20 | 20-21 | 21-22 | 22-23 | 23-24 | Лето, часы |
| | | | | | | | | | | | | $P_{(i)}$ |
| | | | | | | | | | | | | $\Delta P_{\text{пост}}$ |
| | | | | | | | | | | | | $\Delta P_{\text{с.н}}$ |
| | | | | | | | | | | | | $\Delta P_{\text{пер}}$ |
| | | | | | | | | | | | | $P^{\Sigma}_{\text{пс}(i)}$ |

Таблица В2 - Суммарный зимний график нагрузки подстанции

| 0-1 | 1-2 | 2-3 | 3-4 | 4-5 | 5-6 | 6-7 | 7-8 | 8-9 | 9-10 | 10-11 | 11-12 | Зима, часы |
|-------|-------|-------|-------|-------|-------|-------|-------|-------|-------|-------|-------|-----------------------------|
| | | | | | | | | | | | | $P_{(i)}$ |
| | | | | | | | | | | | | $\Delta P_{\text{пост}}$ |
| | | | | | | | | | | | | $\Delta P_{\text{с.н}}$ |
| | | | | | | | | | | | | $\Delta P_{\text{пер}}$ |
| | | | | | | | | | | | | $P^{\Sigma}_{\text{пс}(i)}$ |
| 12-13 | 13-14 | 14-15 | 15-16 | 16-17 | 17-18 | 18-19 | 19-20 | 20-21 | 21-22 | 22-23 | 23-24 | Зима, часы |
| | | | | | | | | | | | | $P_{(i)}$ |
| | | | | | | | | | | | | $\Delta P_{\text{пост}}$ |
| | | | | | | | | | | | | $\Delta P_{\text{с.н}}$ |
| | | | | | | | | | | | | $\Delta P_{\text{пер}}$ |
| | | | | | | | | | | | | $P^{\Sigma}_{\text{пс}(i)}$ |

Приложение Г
Таблица Г1-Трансформаторы класса напряжения 35-110 кВ

| тип | S _{ном} кВ *А | U _{ном} кВ | | потери, кВт | | u _к , % | i _х , % | размеры, м | | |
|-------------------|---------------------------|---------------------|-------------|----------------|----------------|--------------------|--------------------|------------|------|------|
| | | ВН | НН | P _х | P _к | | | t | b | H |
| ТМН - 6300/35 | 6300 | 20; 35 | 3,15 - 11 | 9,4 | 46,5 | 7,5 | 0,9 | 4,1 | 3,57 | 4,11 |
| ТМН - 6300/35 | 6300 | 20; 35 | 6,3; 11 | 9,4 | 46,5 | 7,5 | 0,9 | 4,15 | 3,65 | 4,4 |
| ТДНС - 10000/35 | 10000 | 35* | 6,3* | 14,5 | 65 | 8 | 0,8 | 5,42 | 3,92 | 5,06 |
| ТДНС - 10000/35 | 10000 | 35 | 6,3 | 13,5 | 65 | 8 | 0,8 | 5,97 | 5,4 | 5 |
| ТДНС - 16000/35 | 16000 | 35 | 6,3; 10,5 | 21 | 100 | 10 | 0,6 | 6,1 | 3,07 | 5,25 |
| ТРДНС - 25000/35 | 25000 | 35 | 6,3; 10,5 | 25 | 115 | 9,5 | 0,5 | 5 | 4,27 | 6,56 |
| ТРДНС - 32000/35 | 32000 | 35 | 6,3; 10,5 | 30 | 145 | 11,5 | 0,45 | 6,6 | 4,3 | 5,53 |
| ТРДНС - 40000/35 | 40000 | 35 | 6,3; 10,5 | 36 | 170 | 11,5 | 0,4 | 6,8 | 4,5 | 5,5 |
| ТРДНС - 63000/35 | 63000 | 35 | 6,3; 10,5 | 50 | 250 | 11,5 | 0,35 | 7 | 4,55 | 6,06 |
| ТМН - 2500/110 | 2500 | 110 | 6,6; 11 | 6,5 | 22 | 10,5 | 1,5 | 4,63 | 3,54 | 4,09 |
| ТМН - 2500/110 | 2500 | 110 | 6,6; 11 | 6,5 | 22 | 10,5 | 1,5 | 4,4 | 4,3 | 4,38 |
| ТМН - 6300/110 | 6300 | 115 | 6,6; 11 | 13 | 50 | 10,5 | 1 | 6,09 | 6,26 | 5,26 |
| ТМН - 6300/110 | 6300 | 115 | 6,6; 11 | 17,5 | 50 | 10,5 | 1 | 6,08 | 4,2 | 5,09 |
| ТДН - 10000/110 | 10000 | 115 | 6,6; 11 | 18 | 60 | 10,5 | 0,9 | 6,33 | 3,7 | 5,55 |
| ТДН - 16000/110 | 16000 | 115 | 6,6; 11 | 21 | 90 | 10,5 | 0,85 | 6,6 | 4,4 | 5,77 |
| ТРДН - 25000/110 | 25000 | 115 | 6,3 - 6,3 | 31,5 | 121 | 10,5 | 0,75 | 6,58 | 4,65 | 5,82 |
| ТРДН - 32000/110 | 32000 | 115 | 6,3; 10,5** | 44 | 145 | 10,5 | 0,75 | 7,55 | 4,72 | 5,75 |
| ТРДЦН - 40000/110 | 40000 | 115 | 6,3; 10,5 | 52 | 175 | 10,5 | 0,7 | 7,28 | 5,02 | 6,25 |
| ТРДЦН - 40000/110 | 40000 | 115 | 6,3; 10,5 | 50 | 160 | 10,5 | 0,7 | 7,02 | 4,85 | 6,3 |
| ТРДЦН - 63000/110 | 63000 | 115 | 6,3; 10,5 | 69 | 245 | 10,5 | 0,65 | 8,31 | 4,24 | 6,47 |
| ТРДЦН - 63000/110 | 63000 | 115 | 6,3; 10,5 | 70 | 245 | 10,5 | 0,65 | 7,2 | 5,15 | 6,5 |
| ТРДЦН - 80000/110 | 80000 | 115 | 6,3; 10,5 | 85 | 310 | 10,5 | 0,6 | 8,7 | 5,25 | 7 |

Приложение Д
Графики перегрузочной способности трансформатора

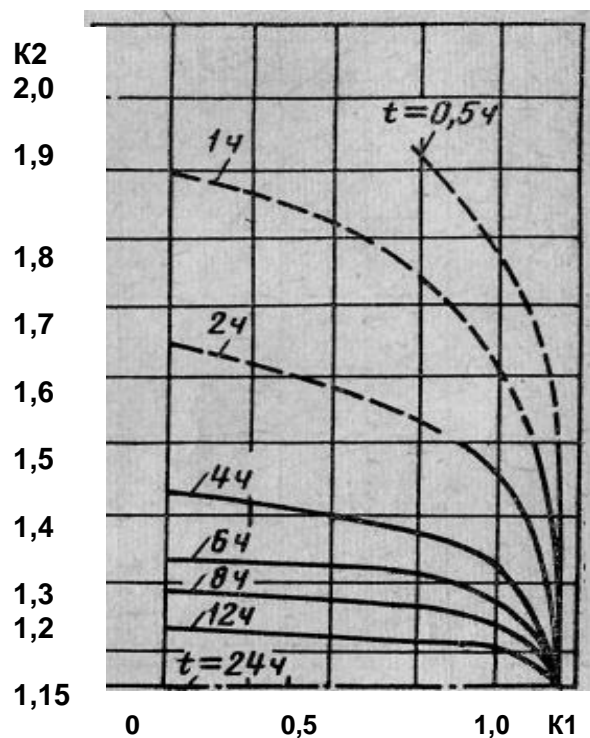


Рисунок Д1- Кривые перегрузочной способности трансформатора системы охлаждения Д, мощностью 6,3-32 МВА, $v_{\text{охл.}}=0\text{ }^{\circ}\text{C}$

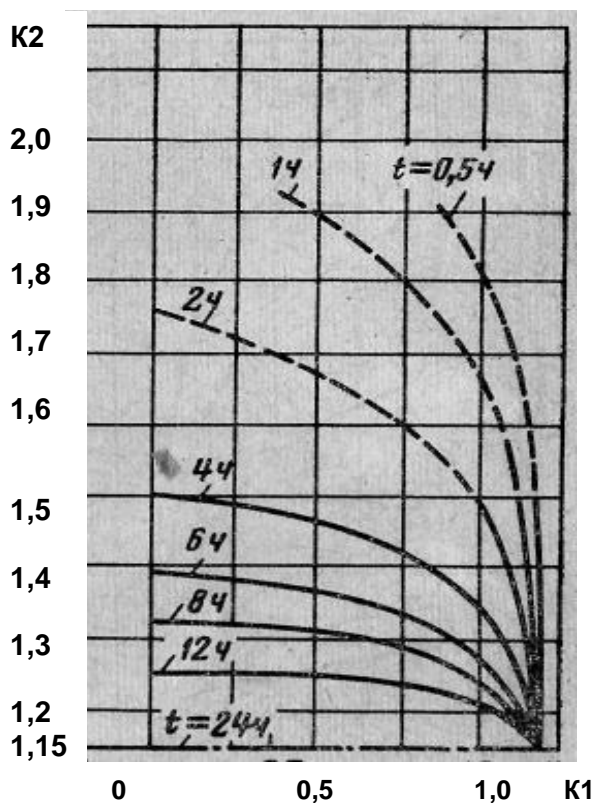


Рисунок Д2- Кривые перегрузочной способности трансформатора системы охлаждения Д, мощностью 32-63 МВА, $v_{\text{охл.}}=0\text{ }^{\circ}\text{C}$

Таблица Е1- Параметры сталеалюминиевых проводов

| марка провода | Число и диаметр проволок, мм | | Расчетное сечение, мм ² | | | Расчетный диаметр, мм | | Сопротивление постоянному току при 20 ° С, Ом/км | Допустимая токовая нагрузка, А |
|--|---------------------------------|----------|------------------------------------|-------|---------------|--------------------------|---------|--|-----------------------------------|
| | алюминиевых | стальных | алюминия | стали | всего провода | стального сердечника | провода | | |
| Провода нормальной конструкции (АС) | | | | | | | | | |
| АС 10/1,8 | 6*1,5 | 1*1,5 | 10,6 | 1,77 | 12,37 | 1,5 | 4,5 | 2,766 | 80 |
| АС 16/2,7 | 6*1,85 | 1*1,85 | 16,1 | 2,69 | 18,79 | 1,9 | 5,6 | 1,800 | 105 |
| АС 25/4,2 | 6*2,3 | 1*2,3 | 24,9 | 4,15 | 29,05 | 2,3 | 6,9 | 1,176 | 130 |
| АС 35/6,2 | 6*2,8 | 1*2,8 | 36,9 | 6,15 | 43,05 | 2,8 | 8,4 | 0,790 | 175 |
| АС 50/8,0 | 6*3,2 | 1*3,2 | 48,2 | 8,04 | 56,24 | 3,2 | 9,6 | 0,603 | 210 |
| АС 70/11 | 6*3,8 | 1*3,8 | 68,0 | 11,3 | 79,30 | 3,8 | 11,4 | 0,429 | 265 |
| АС 70/72 | 6*2,2 | 19*2,2 | 68,4 | 72,2 | 140,60 | 11,0 | 15,4 | 0,428 | 265 |
| АС 95/16 | 6*4,5 | 1*4,5 | 95,4 | 15,9 | 111,3 | 4,5 | 13,5 | 0,306 | 330 |
| АС 95/141 | 24*2,2 | 37*2,2 | 91,2 | 141,0 | 232,2 | 15,4 | 19,8 | 0,321 | 330 |
| АС 120/19 | 26*2,4 | 7*1,85 | 118 | 18,8 | 136,8 | 5,6 | 15,2 | 0,249 | 380 |
| АС 120/27 | 30*2,22 | 7*2,20 | 114 | 26,6 | 140,6 | 6,6 | 15,4 | 0,253 | 380 |
| АС 150/19 | 24*2,80 | 7*1,85 | 148 | 18,8 | 166,8 | 5,5 | 16,8 | 0,199 | 445 |
| АС 150/24 | 26*2,70 | 7*2,10 | 149 | 24,2 | 173,2 | 6,3 | 17,1 | 0,198 | 445 |
| АС 150/34 | 30*2,50 | 7*2,50 | 147 | 34,3 | 181,3 | 7,5 | 17,5 | 0,201 | 445 |
| АС 185/24 | 24*3,15 | 7*2,10 | 187 | 24,2 | 211,2 | 6,3 | 18,9 | 0,157 | 510 |
| АС 185/29 | 26*2,98 | 7*2,30 | 181 | 29,0 | 210,0 | 6,9 | 18,8 | 0,162 | 510 |
| АС 185/43 | 30*2,80 | 7*2,80 | 185 | 43,1 | 228,1 | 8,4 | 19,6 | 0,158 | 510 |
| АС 185/128 | 54*2,10 | 37*2,10 | 187 | 128,0 | 315,0 | 14,7 | 23,1 | 0,158 | 510 |
| АС 240/32 | 24*3,60 | 7*2,40 | 244 | 31,7 | 275,7 | 7,2 | 21,6 | 0,121 | 610 |
| АС 240/39 | 26*3,40 | 7*2,65 | 236 | 38,6 | 274,6 | 8,0 | 21,6 | 0,124 | 610 |
| АС 240/56 | 30*3,20 | 7*3,20 | 241 | 56,3 | 297,3 | 9,6 | 22,4 | 0,122 | 610 |
| АС 300/39 | 24*4,00 | 7*2,65 | 301 | 38,6 | 339,6 | 8,0 | 24,0 | 0,098 | 690 |
| АС 300/48 | 26*3,80 | 7*2,95 | 295 | 47,8 | 342,8 | 8,9 | 24,1 | 0,100 | 690 |
| АС 300/66 | 30*3,50 | 19*2,10 | 289 | 65,8 | 353,8 | 10,5 | 24,5 | 0,102 | 690 |
| АС 300/67 | 30*3,50 | 7*3,50 | 289 | 67,3 | 356,3 | 10,5 | 24,5 | 0,103 | 690 |
| АС 300/204 | 54*2,65 | 37*2,65 | 298 | 204,0 | 502,0 | 18,6 | 29,2 | 0,099 | 690 |
| АС 400/18 | 42*3,40 | 7*1,85 | 381 | 18,8 | 399,8 | 5,6 | 26,0 | 0,078 | 835 |
| АС 400/22 | 76*2,57 | 7*2,0 | 394 | 22,0 | 416,0 | 6,0 | 26,6 | 0,075 | 835 |
| АС 400/51 | 54*3,05 | 7*3,05 | 394 | 51,1 | 445,1 | 9,2 | 27,5 | 0,075 | 835 |
| АС 400/64 | 26*4,37 | 7*3,4 | 390 | 63,5 | 453,5 | 10,2 | 27,7 | 0,075 | 835 |
| АС 400/93 | 30*4,15 | 19*2,50 | 406 | 93,5 | 499,2 | 12,5 | 29,1 | 0,072 | 835 |

Таблица Е2- Индуктивные сопротивления сталеалюминиевых проводов

| Среднегеометрическое расстояние между проводами, м | Индуктивное сопротивление, Ом/км | | | | | | | |
|--|----------------------------------|-------|-------|-------|--------|--------|--------|--------|
| | АС-35 | АС-50 | АС-70 | АС-95 | АС-120 | АС-150 | АС-185 | АС-240 |
| 2,0 | 0,403 | 0,392 | 0,382 | 0,371 | 0,365 | 0,358 | --- | --- |
| 2,5 | 0,417 | 0,406 | 0,396 | 0,385 | 0,379 | 0,372 | --- | --- |
| 3,0 | 0,429 | 0,418 | 0,408 | 0,397 | 0,391 | 0,384 | 0,377 | 0,369 |
| 3,5 | 0,438 | 0,427 | 0,417 | 0,406 | 0,400 | 0,396 | 0,386 | 0,378 |
| 4,0 | 0,446 | 0,435 | 0,425 | 0,414 | 0,408 | 0,401 | 0,394 | 0,386 |
| 4,5 | --- | --- | 0,433 | 0,422 | 0,416 | 0,409 | 0,402 | 0,394 |

Расчет температуры нагрева проводника

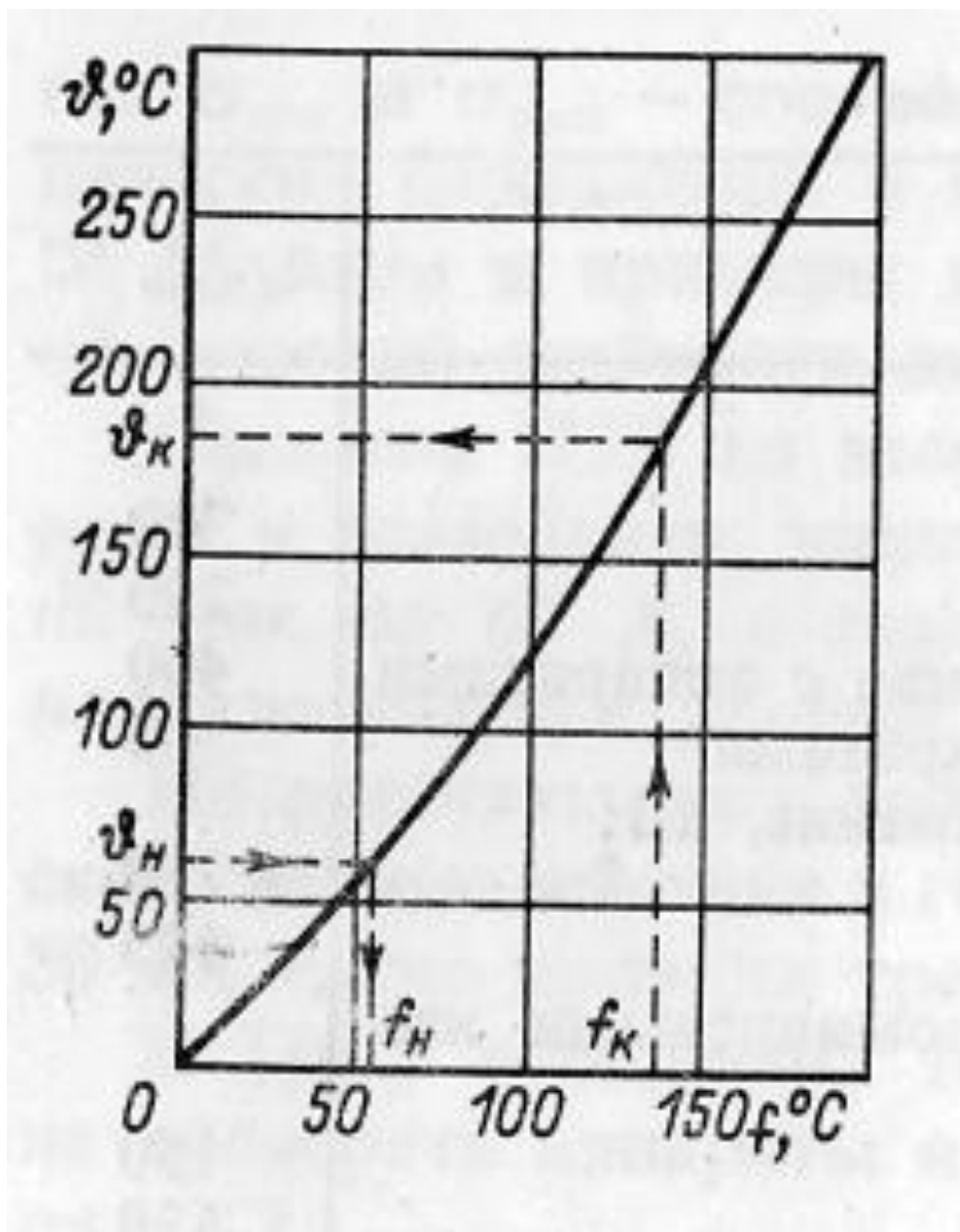


Рисунок И1- Кривая определения температуры нагрева проводника при коротком замыкании

Таблица К1- Механические характеристики материала шин

| Материал | Марка | Разрушающее напряжение $\delta_{разр}$, МПа | Допустимое напряжение $\delta_{доп}$, МПа | Модуль упругости, E , Па |
|-------------------|--------|--|--|----------------------------|
| Алюминий | АДО | 60 – 70 | 40 | $7 \cdot 10^{10}$ |
| Алюминиевый сплав | АД31Т | 130 | 75 | — |
| | АД31Т1 | 200 | 90 | — |
| Медь | МГТ | 250 – 300 | 140 | $10 \cdot 10^{10}$ |
| Сталь | Ст3 | 370 – 500 | 160 | $20 \cdot 10^{10}$ |

Таблица К2- Момент сопротивления и инерции шины

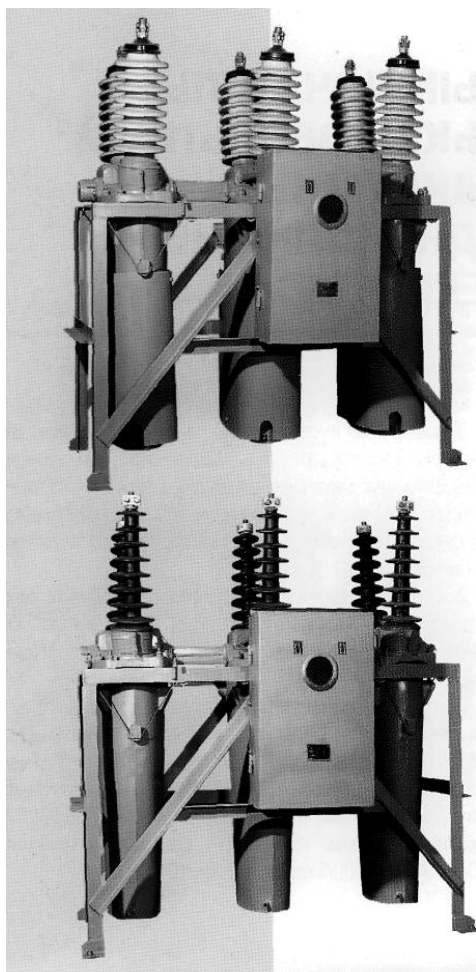
| Расположение шин | Момент инерции | Момент сопротивления |
|------------------|-----------------------------|-------------------------------|
| | $\frac{bh^3}{12}$ | $\frac{bh^2}{6}$ |
| | $\frac{hb^3}{12}$ | $\frac{hb^2}{6}$ |
| | $\frac{bh^3}{6}$ | $\frac{bh^2}{3}$ |
| | $\frac{hb^3}{6}$ | $\frac{hb^2}{3}$ |
| | $0,72 b^3 h$ | $1,44 b^2 h$ |
| | $\frac{\pi d^4}{64}$ | $\frac{\pi d^3}{32}$ |
| | $\frac{\pi(D^4 - d^4)}{64}$ | $\frac{\pi(D^4 - d^4)}{32 D}$ |

Параметры электрооборудования подстанции

Таблица Л1-Параметры воздушных выключателей напряжением 110 кВ

| Тип | I _{НОМ} , кА | I _{ОТКЛ} , кА | Предельный сквозной ток (амплитуда), кА | Ток термической стойкости, кА | Время (полное), с | | Масса полюса, т | L _{УГ} , см | Емкость баков, м ³ | |
|--|-----------------------|------------------------|---|-------------------------------|-------------------|------------|-----------------|----------------------|-------------------------------|--|
| | | | | | отключающая | включающая | | | | |
| <i>а) Выключатели с наружным отделителем</i> | | | | | | | | | | |
| ВНСГ-15 | 12,0 | 31,5 | 485 | 190 | 0,08 | 0,12 | 2,5 | — | 1,8 | |
| ВВГ-20 | 12,5; 20 | 160 | 410 | 160 | 0,12 | 0,14 | 9,6 | — | 2,4 | |
| ВВ-20 (У) | 12,0 | 115 | 300 | 118 | 0,19 | 0,10 | 3,1 | — | 2,4 | |
| ВВП-35 | 1,25 | 16 | 41 | 16 | 0,08 | 0,28 | 1,2 | — | 0,6 | |
| ВВ-35 | 1,25 | 20 | 52 | 20 | 0,08 | 0,28 | 1,2 | — | 0,5 | |
| <i>б) Выключатели с отделителем в кожухе</i> | | | | | | | | | | |
| ВВН-35-2 | 2,0 | 31,5 | 84 | 33 | 0,08 | 0,28 | 3,5 | 105 | 2,0 | |
| <i>в) Выключатели с отделителем в кожухе под давлением</i> | | | | | | | | | | |
| ВВН-110-6* | 2,0 | 31,5 | 80 | 31,5 | 0,07 | 0,25 | 3,2 | 263 | 3,9 | |
| ВВШ-110 (Б) | 2,0 | 25 | 64 | 25 | 0,08 | 0,20 | 3,1— 3,3 | 210 (290) | 3,9 | |
| ВВШ-150Б | 2,0 | 25 | 74 | 32 | 0,05 | 0,20 | 4,3 | 408 | 6,2 | |
| ВВН-154-8* | 2,0 | 30,8 | 78 | 30,8 | 0,08 | 0,25 | 4,3 | 408 | 6,2 | |
| ВВН-220-10* | 2,0 | 26,2 | 67 | 26,2 | 0,08 | 0,25 | 4,8 | 526 | 6,2 | |
| ВВН-220-15* | 2,0 | 39,4 | 80 | 39,4 | 0,08 | 0,25 | 5,0 | 526 | 7,2 | |
| ВВШ-220 (Б) | 2,0 | 25 | 94 | 40 | 0,08 | 0,25 | 5,2— 5,5 | 420 (526) | 6,2 | |
| ВВ-330Б | 2,0 | 20; 31,5 | 65 | 26 | 0,08 | 0,23 | 13,0 | 800 | 15,0 | |
| ВВН-330-15* | 2,0 | 26,2 | 67 | 26,2 | 0,08 | 0,30 | 11,2 | 840 | 14,4 | |
| ВВ-500 (Б), ВВМ-500 (Б) | 2,0 | 20; 31,5 | 73 | 29 | 0,08 | 0,26 | 16,0 | 1080 | 22,4 | |
| <i>г) Выключатели с металлическими гасительными камерами</i> | | | | | | | | | | |
| ВВУ-35 | 2,0; 3,2 | 40 | 100 | 40 | 0,07 | 0,13 | 2,5 | 90 | 1,3 | |
| ВВУ-110 | 2,0 | 40 | 102 | 40 | 0,08 | 0,20 | 5,2 | 245 | 3,0 | |
| ВВП-110Б | 0,63; 1,25 | 16 | 67 | 26 | 0,08 | 0,15 | 2,5 | 300 | 1,5 | |
| ВВБ-110Б | 2,0 | 31,5 | 80 | 31,5 | 0,07 | 0,15 | 2,8 | 290 | 1,5 | |
| ВВБМ-110Б | 2,0 | 31,5 | 90 | 35 | 0,07 | 0,15 | 2,5 | 290 | 1,5 | |
| ВВН-110 (Б) | 3,2 | 40; 63 | 102; 162 | 40; 63 | 0,04 | 0,10 | 3,0 | 210 (285) | 1,7 | |
| ВВБК-110 | 3,2; 4,0 | 50; 63 | 125; 162 | 50; 63 | 0,04 | 0,10 | 2,5 | 290 | 1,5 | |
| ВВБ-150Б | 2,0; 3,2 | 31,5 | 90 | 31,5 | 0,07 | 0,20 | 3,2 | 408 | 1,5 | |
| ВВБ-220 (А)-12 | 2,0; 3,2 | 31,5 | 80 | 31,5 | 0,08 | 0,20 | 5,2 | 575 | 3,0 | |

Таблица Л2- Вакуумные выключатели на напряжение 35 кВ



ВЫКЛЮЧАТЕЛЬ ВЫСОКОВОЛЬТНЫЙ ВАКУУМНЫЙ ТРЕХПОЛЮСНЫЙ СЕРИИ ВВС-35

Выключатели высоковольтные серии ВВС-35 предназначены для коммутации электрических цепей при нормальных и аварийных режимах в сетях трехфазного переменного тока частоты 50 (60) Гц для открытых и закрытых распределительных устройств.

Выключатель предназначен для работы в районах умеренного, холодного и тропического климата, на высоте не более 1000 м над уровнем моря, с температурой окружающего воздуха от плюс 40 до минус 60°С.

Выключатель состоит из трех полюсов, каждый из которых собран на отдельной крышке. Полюса соединены между собой в один общий комплект междуполюсными муфтами. На каркасе укреплен шкаф с приводом ПЭМУ-500. Гашение электрической дуги обеспечивается вакуумной дугогасительной камерой КДВ2-35-25/1600*. Выключатель комплектуется встроенными трансформаторами тока ТВ-35 ГОСТ 7746-89 (варианты исполнений 150/5, 300/5, 600/5 класса точности 1-10 и 600/5, 1200/5, 1500/5 класса точности 0,5).

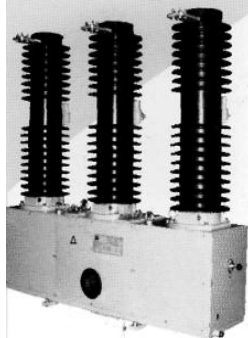
ТЕХНИЧЕСКИЕ ДАННЫЕ

| Тип генератора | ВВС-35 II-20/630 | ВВС-35 II-20/1600 |
|--|------------------|-------------------|
| Номинальное напряжение, кВ | 35 | 35 |
| Номинальный ток, А | 630 | 1600 |
| Номинальный ток отключения, кА | 20 | 20 |
| Ток термической стойкости, кА | 20 | 20 |
| Амплитуда предельного сквозного тока, кА | 52 | 52 |
| Собственное время отключения средней фазы, с, не более | 0,04 | 0,04 |
| Время задержки крайних фаз относительно средней, с, не более | 0,15...0,20 | 0,15...0,20 |
| Время отключения, с, не более | 0,08 | 0,08 |
| Собственное время включения, с, не более | 0,15 | 0,15 |
| Коммутационная износостойкость, циклов В-О | | |
| при номинальном токе | 25000 | 25000 |
| при токе отключения 7,5 кА | 2000 | 2000 |
| при токе отключения 15 кА | 500 | 500 |
| при токе отключения 20 кА | 200 | 200 |
| Масса выключателя, кг | 750 | 830 |
| Габаритные размеры (lxbxh), мм | 1910x1200x1950 | 1910x1200x1950 |

* Возможна замена на аналогичное оборудование

ВЫСОКОВОЛЬТНОЕ ОБОРУДОВАНИЕ

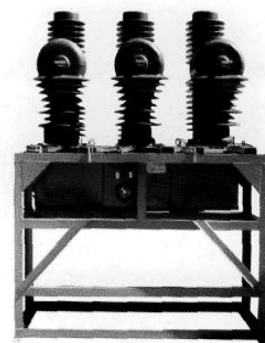
класса 35 кВ серии ВБС (сухие)



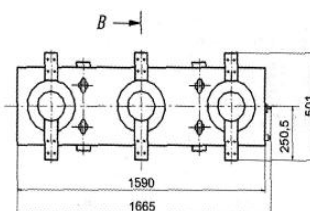
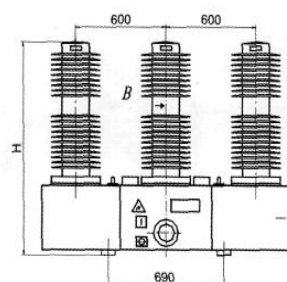
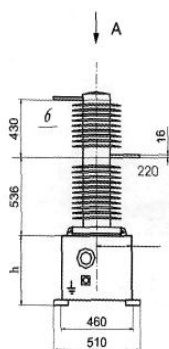
Вакуумные выключатели наружной установки с усиленной изоляцией предназначены для коммутации электрических цепей при нормальных и аварийных режимах в сетях трехфазного переменного тока частотой 50-60 Гц с напряжением 35 кВ.

Выключатели используются для работы в электрических сетях на открытых частях станций, подстанций, на тяговых подстанциях электрифицированных железных дорог, а также для замены отработавших свой ресурс масляных и воздушных выключателей на действующих подстанциях.

Выключатели изготавливаются по требованию заказчика в тропическом исполнении.



с трансформаторами тока
ТОЛ-35III-II УХЛ1



| Тип выключателя | Размеры, мм | |
|--|-------------|-----|
| | H | h |
| ВБЭС-35III УХЛ1 - привод электромагн. | 1584 | 532 |
| ВБПС-35III УХЛ1 - привод пружинный | 1854 | 802 |

Технические характеристики

| Наименование параметров | Значения | |
|--|-------------------------|----------|
| Номинальное напряжение, кВ | 35 | |
| Номинальный ток, А | 630; 1250; 1600; (2000) | |
| Номинальный ток отключения, кА | 25 (31,5) | |
| Сквозной ток короткого замыкания: | | |
| - ток электродинамической стойкости, кА | 63 (80) | |
| - ток термической стойкости, кА | 25 (31,5) | |
| - время протекания тока термической стойкости, с | 3 | |
| Номинальное напряжение привода, | 110; 220 | |
| - пружинный привод | пост., В | 220 |
| - электромагнитный привод | перем., В | 110; 220 |
| Токи потребления электромагнита включения | при взводе пружины 8,4 | |
| - пружинного привода | пост., А | 4 |
| - электромагнитного привода | перем., А | 3; 1,5 |
| | | 1,5 |
| | | 70; 35 |
| Токи потребления электромагнита отключения | 3; 1,5 | |
| - пружинного привода | пост., А | 1,5 |
| - электромагнитного привода | перем., А | 5; 2,5 |
| Собственное время включения, с | 0,11 | |
| Собственное время отключения, с | 0,03 | |
| Диапазон рабочих температур окр. среды, °С | +50 / -60 | |
| Ресурс по коммутационной стойкости: | | |
| - при номинальном токе, циклов ВО | 30000 | |
| - при токе отключения 8 кА | 2000 | |
| - при номинальном токе отключения, циклов ВО | 100 | |
| Ресурс по механической стойкости, циклов ВО | 30000 | |
| Масса, кг, не более | 600 | |

Таблица ЛЗ- Вакуумные выключатели на напряжение 10В



Вакуумные выключатели серии ВВ/TEL предназначены для эксплуатации в сетях трехфазного переменного тока частотой 50 Гц с номинальным напряжением до 10 кВ с изолированной и компенсированной нейтралью в нормальных и аварийных режимах.

Выключатели ВВ/TEL применяются в ячейках КРУ внутренней и наружной установки, а также в камерах КСО, как при новом строительстве, так и при замене выключателей прошлых лет выпуска.

Отличительные особенности:

- высокий коммутационный и механический ресурс;
- отсутствие необходимости проведения текущего и среднего ремонтов;
- питание цепей управления от сети постоянного, выпрямленного и переменного оперативного тока;
- малое потребление мощности из сети оперативного питания;
- возможность отключения при потере оперативного питания;
- полная взаимозаменяемость с устаревшими маломасляными выключателями по главным и вспомогательным цепям;
- возможность работы в любом пространственном положении;
- малые габариты и масса.

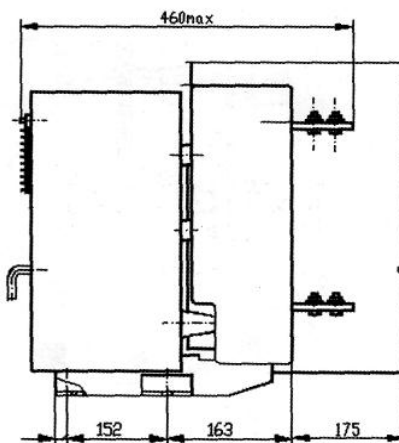
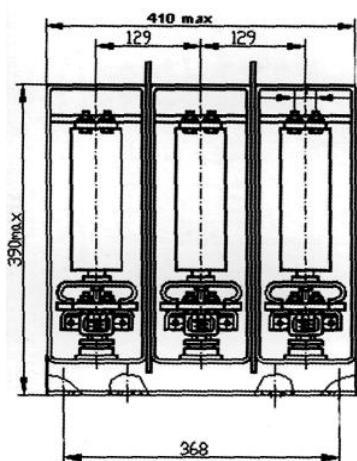
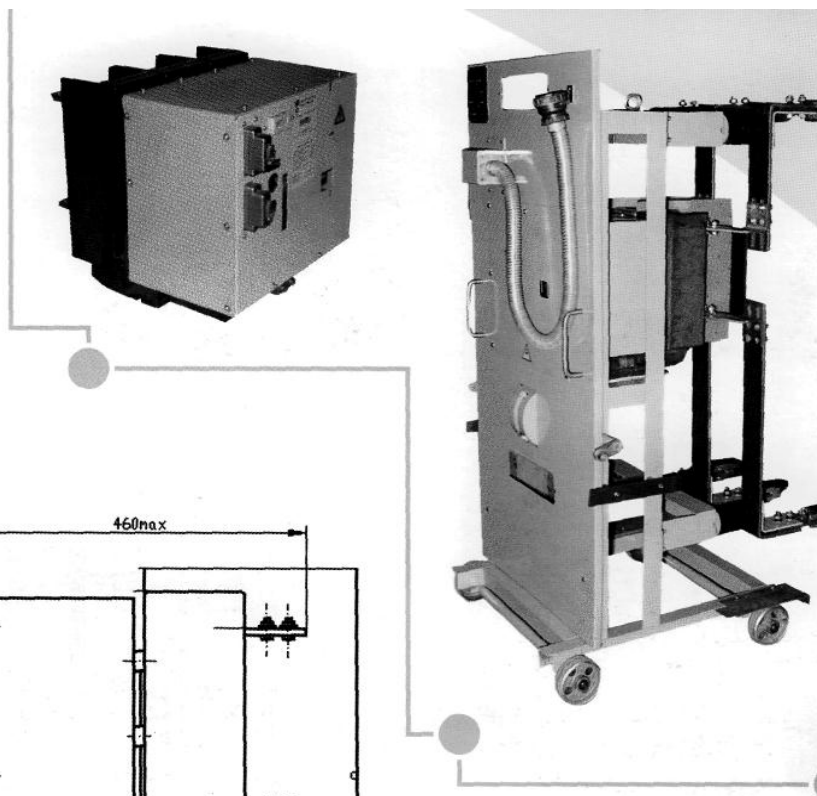
Все вакуумные выключатели серии ВВ/TEL полностью испытаны на соответствие требованиям российских стандартов и имеют сертификаты соответствия системы ГОСТ Р.

ОСНОВНЫЕ ТЕХНИЧЕСКИЕ ХАРАКТЕРИСТИКИ

| Наименование параметра | ВВ/TEL-10-12,5/1000 У2 | ВВ/TEL-10-20/1000 У2 | ВВ/TEL-10-20/1600 У2 |
|--|------------------------|----------------------|----------------------|
| Номинальное напряжение, кВ | 10 | 10 | 10 |
| Номинальный ток, А | 630, 1000 | 630, 1000 | 1600 |
| Номинальный ток отключения, кА | 12,5 | 20 | 20 |
| Ток электродинамической стойкости, (амплитуда), кА | 32 | 51 | 51 |
| Испытательное кратковременное напряжение (одноминутное) промышленной частоты, кВ | 42 | 42 | 42 |
| Ресурс по коммутационной стойкости: | | | |
| а) при номинальном токе, циклов "ВО" | 50000 | 50000 | 30000 |
| б) при номинальном токе отключения, операций «О» | 100 | 150 | 150 |
| в) при номинальном токе отключения, циклов «ВО» | 100 | 100 | 50 |
| Собственное время отключения, мс, не более | 15 | 15 | 15 |
| Полное время отключения, мс, не более | 25 | 25 | 25 |
| Собственное время включения, мс, не более | 70 | 70 | 70 |
| Стойкость к механическим воздействиям, группа по ГОСТ 17516.1-90 | M6, M7 | M6, M7 | M6, M7 |
| Масса выключателя, кг, не более: | | | |
| а) с межполюсным расстоянием 200 мм | 35 | 35 | 65 |
| б) с межполюсным расстоянием 250 мм | 37 | 37 | 70 |

Продолжение таблицы ЛЗ

Вакуумные выключатели внутренней установки предназначены для коммутации электрических цепей переменного тока частотой 50 и 60 Гц с номинальным напряжением 6 - 10 кВ в нормальном и аварийном режимах в системах с изолированной или компенсированной нейтралью.



Выключатели поставляются на все КРУ - строительные предприятия России, Беларуси, Польши, а также широко используются для замены масляных и маломасляных выключателей, отработавших свой ресурс, по программе Ретрофит во всех КРУ и КСО прежних лет выпуска.

Смотрите раздел реконструкция.

Технические характеристики

| Наименование параметров | Значения |
|--|------------------------------------|
| Номинальное напряжение, кВ | 10 |
| Номинальный ток, А | 1000 (800) |
| Номинальный ток отключения, кА | 20 (12,5) |
| Сквозной ток короткого замыкания: | |
| - ток электродинамической стойкости, кА | 51 |
| - ток термической стойкости, кА | 20 |
| - время протекания тока термической стойкости, с | 3 |
| Номинальное напряжение привода | пост., В 110; 220 перем., В 220 |
| Токи потребления электромагнита включения | пост., А 56; 28 перем., А 28 |
| Токи потребления электромагнита отключения | пост., А 3; 1,5 перем., А 2 |
| Собственное время включения, с | 0,08 |
| Собственное время отключения, с | 0,03 |
| Диапазон рабочих температур окр. среды, °С | +55 / -60 |
| Ресурс по коммутационной стойкости: | |
| - при номинальном токе, циклов ВО | 50000 |
| - при номинальном токе отключения, циклов ВО | 100 |
| Ресурс по механической стойкости, циклов ВО | 50000 |
| Масса, кг, не более | 54 |

Продолжение таблицы ЛЗ

| Технические характеристики | | |
|--|-----------------------|----------------------|
| Наименование параметров | ВБЭ-10-20 | ВБЭ-10-31,5 |
| Номинальное напряжение, кВ | 10 | 10 |
| Номинальный ток, А | 630 ÷ 1600 | 630 ÷ 3150 |
| Номинальный ток отключения, кА | 20 | 31,5 |
| Сквозной ток короткого замыкания: | | |
| - ток электродинамической стойкости, кА | 51 | 80 |
| - ток термической стойкости, кА | 20 | 31,5 |
| - время протекания тока термической стойкости, с | 3 | 3 |
| Номинальное напряжение привода | пост., В перем., В | 110; 220 110; 220 |
| Токи потребления электромагнита включения | пост., А | 64; 32 |
| | перем., А | 27 40 |
| Токи потребления электромагнита отключения | пост., А | 0,9; 0,45 |
| | перем., А | 2 2 |
| Собственное время включения, с | 0,1 | 0,1 |
| Собственное время отключения, с | 0,04 | 0,04 |
| Диапазон рабочих температур окр. среды, °С | +50 -60 | +50 -60 |
| Ресурс по коммутационной стойкости: | | |
| - при номинальном токе, циклов ВО | 50000 | 50000 |
| - при номинальном токе отключения, циклов ВО | 100 | 100 |
| Ресурс по механической стойкости, циклов ВО | 50000 | 50000 |
| Масса, кг, не более | 120 | 150 |

| Технические характеристики | | | |
|--|-----------------------|---|---|
| Наименование параметров | ВБ-10-20 | ВБ-10-31,5 | |
| Номинальное напряжение, кВ | 10 | 10 | |
| Номинальный ток, А | 630 ÷ 1600 | 630 ÷ 1600 | |
| Номинальный ток отключения, кА | 20 | 31,5 | |
| Сквозной ток короткого замыкания: | | | |
| - ток электродинамической стойкости, кА | 51 | 80 | |
| - ток термической стойкости, кА | 20 | 31,5 | |
| - время протекания тока термической стойкости, с | 3 | 3 | |
| Номинальное напряжение привода, | пост., В перем., В | 110; 220 110; 220 | |
| Токи потребления электромагнита включения: - пружинного привода | пост., А | при взводе пружины $\frac{6,3}{3}$ | при взводе пружины $\frac{9}{4,5(4,5)}$ |
| | | при включении выключателя $\frac{0,9; 0,45}{2}$ | при включении выключателя $\frac{0,9; 0,45}{2}$ |
| | перем., А | 56; 28 | 70; 35 |
| | | 28 | 35 |
| Токи потребления электромагнита отключения | пост., А | 0,9; 0,45 | |
| | перем., А | 2 2 | |
| Собственное время включения, пруж. (электромагн.), с | 0,05 (0,07) | 0,05 (0,07) | |
| Собственное время отключения, с | 0,04 | 0,04 | |
| Диапазон рабочих температур окр. среды, °С | +50 / -60 | +50 / -60 | |
| Ресурс по коммутационной стойкости, пруж. (электромагн.): | | | |
| - при номинальном токе, циклов ВО | 40000 (50000) | 40000 (50000) | |
| - при номинальном токе отключения, циклов ВО | 150 | 150 | |
| Ресурс по механической стойкости, циклов ВО | 40000 (50000) | 40000 (50000) | |
| Масса, кг, не более | 73 | 85 | |

Таблица Л4-Параметры разъединителей напряжением 10-110 кВ

| Тип | Амплитуда сквозного тока, кА | Ток термической стойкости, кА | Масса, кг | Тип привода | l _{ут} , см |
|--------------------|------------------------------|-------------------------------|-----------|-------------------|----------------------|
| РЛНДА-10/200 | 20 | 8 | 48 | ПРН-10М | 22,5 |
| РЛНДА-1-10/200 | 20 | 8 | 55 | ПРНЗ-10 | 22,5 |
| РЛНДА-10/400 | 25 | 10 | 48 | ПРН-10М | 22,5 |
| РЛНДА-1-10/400 | 25 | 10 | 55 | ПРНЗ-10 | 22,5 |
| РЛНД-10/400 | 25 | 10 | 50 | ПРН-10М | 20 |
| РЛНД-1-10/400 | 25 | 10 | 58,3 | ПРНЗ-10 | 20 |
| РЛНДА-10/630 | 35,5 | 12,5 | 48 | ПРН-10 | 22,5 |
| РЛНДА-1-10/630 | 35,5 | 12,5 | 55 | ПРНЗ-10 | 22,5 |
| РЛНД-10/630 | 35,5 | 12,5 | 50 | ПРН-10 | 20 |
| РЛНД-1-10/630 | 35,5 | 12,5 | 58,3 | ПРНЗ-10 | 20 |
| РОН-10К/4000 | 250 | 90 | 105 | ПЧН | 20 |
| РОН-10К/5000 | 180 | 71 | 105 | ПЧН | 20 |
| ЗРН-20/200 | 23 | 5 | 141 | ПРНУ | 40 |
| ЗРН-20/400 | 23 | 5 | 141 | ПРНУ | 40 |
| РНД (3)-35/1000 | 64 | 25 | 85 | ПР-90 | 75 |
| РНД (3)-35Б/1000 | 64 | 25 | 88 | ПВН-20 (ПРН-110В) | 70 |
| РНД (3)-35/2000 | 84 | 31,5 | 211 | ПР-У1 | 90 |
| РНД (3)-35Б/2000 | 84 | 31,5 | 218 | ПВН-20 (ПРН-110В) | 90 |
| РНД (3)-35/3200 | 128 | 50 | 262 | ПР-90 | 90 |
| РНД (3)-35У/1000 | 64 | 25 | 164 | ПР-90 | 110 |
| РНД (3)-35У/2000 | 80 | 31,5 | 209 | ПР-90 | 105 |
| РНД (3)-110/1000 | 80 | 31,5 | 225 | ПР-90 | 190 |
| | | | | ПДН-1 | |
| РНД (3)-110Б/1000 | 80 | 31,5 | 231 | ПРН-110В, ПВН-20 | 190 |
| РНД (3)-110У/1000 | 80 | 31,5 | 501 | ПР-90, ПДН-1 | 280 |
| РНД (3)-110/2000 | 100 | 40 | 374 | ПР-90, ПДН-1 | 223 |
| РНД (3)-110У/2000 | 100 | 40 | 530 | ПР-90, ПДН-1 | 313 |
| РНД (3)-110/3200 | 128 | 50 | 460 | ПР-180, ПДН-1 | 223 |
| РНД (3)-150/1000 | 100 | 40 | 510 | ПР-180, ПДН-1 | 285 |
| РНД (3)-150/2000 | 100 | 40 | 525 | ПР-180, ПДН-1 | 285 |
| РНД (3)-150/3200 | 115 | 45 | 505 | ПР-180, ПДН-1 | 285 |
| РНД (3)-220/1000 | 100 | 40 | 700 | ПР-180, ПДН-1 | 413 |
| РНД (3)-220IV/2000 | 100 | 40 | 1148 | ПР-180, ПДН-1 | 446 |
| РНД (3)-220/2000 | 100 | 40 | 744 | ПР-180, ПДН-1 | 418 |
| РНД (3)-220У/2000 | 100 | 40 | 1550 | ПДН-1 | 641 |
| РНД (3)-220/3200 | 128 | 50 | 900 | ПР-180, ПДН-1 | 395 |
| РНД (3)-330/3200 | 160 | 63 | 3340 | ПДН-1 (ПРН-1) | 618 |
| РНД (3)-330У/3200 | 160 | 63 | 4048 | ПДН-1 (ПРН-1) | 808 |
| РНВ (3)-500Т/2000 | 45 | 16 | 5030 | ПДН-220 | 1115 |
| РНД (3)-500/3200 | 160 | 63 | 4160 | ПДН-1 (ПРН-1) | 808 |
| РПН (3)-500/3200 | 160 | 63 | 2000 | ПД-2 (ПРН-1) | 808 |
| РНВ (3)-750П/4000 | 160 | 63 | 8800 | ПДН-1 (ПРН-1) | 1338 |
| РТЗ-1150/4000 | 100 | 40 | 13 370 | ПДН-1 | 1800 |

Примечания: 1. Обозначения типа разъединителя — буквенная часть: Р — разъединитель, В — внутренней установки или вертикальный (типа РНВ), Н — наружной установки, Л — линейный, О — однополюсный, Д — двухколонковый, З — с заземляющим ножом (в скобках — возможность варианта без заземляющего ножа), К — коробчатого профиля, Ф — фигурное исполнение, М — модернизированный, П — наличие рычажной передачи для уменьшения момента на валу привода или подвесное исполнение, А — алюминиевый нож, У — усиленный вариант исполнения изоляции по ГОСТ 9920-75, Б — исполнение с увеличенным расстоянием между полюсами, Т — тропическое исполнение, IV — работоспособность в условиях IV климатического района по гололеду; цифровая часть: U_{ном}, кВ, и после косой черты l_{ном}, А. Количество заземляющих ножей обозначается цифрами 1 и 2 (в таблице опущено, кроме разъединителей РЛНД-1-10 и РЛНД-1-10).

2. В скобках приведены данные (тип привода, стойкость), относящиеся к заземляющим ножам.

3. Данные о массе соответствуют варианту исполнения с двумя заземляющими ножами (если они имеются) и без привода; для однополюсного разъединителя указана масса полюса, для трехполюсного — всего комплекта.

4. Параметры стойкости заземляющих и главных ножей численно равны (исключение — разъединитель РВПЗ-20/12500); длительность предельного тока термической стойкости составляет 4, 3 и 2 с соответственно для разъединителей до 35 включительно, 110—220 и 330—750 кВ и 1 с для заземляющих ножей и для разъединителя РНВ-500Т/2000 (по требованию заказчика для заземляющих ножей до 35 кВ можно принимать 2 с).

5. В установках 6 кВ используются разъединители 10 кВ.

Продолжение таблицы Л4

| Тип | Амплитуда сквозного тока, кА | Ток термической стойкости, кА | Масса, кг | Тип привода | Завод-изготовитель |
|------------------------|------------------------------|-------------------------------|-----------|-----------------------------|--------------------|
| <i>а) Однополюсные</i> | | | | | |
| РВО-10/400 | 50 | 16 | 5,9 | ПР-3 | НТ |
| РВО-10/630 | 60 | 20 | 6,3 | ПР-3 | НТ |
| РВО-10/1000 | 120 | 40 | 12,5 | ПР-3 | НТ |
| РЛВОМ-10/1000-I | 81 | 40 | 16,3 | ПР-3 | НТ |
| РЛВОМ-10/1000-II | 81 | 40 | 19,5 | ПР-3 | НТ |
| РВК-10/2000 | 85 | 31,5 | 26 | ПР-3, ПДВ-1 | ВЛ |
| РВР (3)-10/2500 | 125 | 45 | 68 | ПР-3, ПЛВ-1 ПЧ-50 (ПР-3) | ВЛ |
| РВР (3)-10/4000 | 125 | 45 | 68 | ПДВ-1, ПЧ-50 (ПР-3) | ВЛ |
| РВР (3)-20/6300 | 260 | 100 | 222 | ПДВ-1, ПЧ-50 | ВЛ |
| РВР (3)-20/8000 | 320 | 125 | 238 | ПДВ-1, ПЧ-50 (ПЧ-50) | ВЛ |
| РВП (3)-20/12500 | 490 (250) | 180 (100) | 687 | ПД-12(ПЧ-50) | ВЛ |
| РВК-35/2000 | 115 | 45 | 74 | ПР-3 | ВЛ |
| <i>б) Трёхполюсные</i> | | | | | |
| РВ (3)-10/400 | 41 | 16 | 32 | ПР-10 | НТ, Б |
| РВФ (3)-10/400 | 41 | 16 | 54 | ПР-10 | НТ, Б |
| РВ (3)-10/630 | 52 | 20 | 32 | ПР-10 | НТ, Б |
| РВФ (3)-10/630 | 52 | 20 | 54 | ПР-10 | НТ, Б |
| РВ (3)-10/1000 | 81 | 31,5 | 59 | ПР-10 | НТ |
| РВФ (3)-10/1000 | 81 | 31,5 | 79 | ПР-10 | НТ |
| РВР (3)-III-10/2000 | 85 | 31,5 | 112 | ПР-3, ПДВ-1, ПЧ-50 | ВЛ |

Таблица Л5- Параметры трансформаторов тока на напряжение 10-110 кВ

| Тип | Номинальное напряжение, кВ | Наибольшее рабочее напряжение, кВ | Номинальный ток, А | | Варианты исполнения вторичных обмоток | Класс точности или обозначение вторичной обмотки | Номинальная нагрузка, Ом, в классе точности | | | Электродинамическая стойкость | | Термическая стойкость | |
|-------------------------------|----------------------------|-----------------------------------|---|------------------|---------------------------------------|--|---|------------------|------------------|-------------------------------|-----------|--|---------------------------------------|
| | | | первичный | вторичный | | | 0,5 | 1 | 3 | Кратность | l дин, кА | Кратность/допустимое время, отн. ед./с | Допустимый ток/допустимое время, кА/с |
| <i>Для наружной установки</i> | | | | | | | | | | | | | |
| ТКЛН-10 | 10 | — | 10—200 | 5 | 0,5/Р; Р/Р | 0,5 Р | 0,4 — | — — | — 0,6 | 100 | — | 50/1 | — |
| ТФНД-33Т | 33; 35 33; 35 | — | 100—400 600; 1200 | 5 5 | Р/Р/0,5 | 0,5 Р | 1,2 1,2 | 2,4 2,4 | — — | 100 100 | — | 40/4 40/4 | — |
| ТФН-35М | 35 35 | — | 15—800 1000 | 5 5 | 0,5/Р | 0,5 Р | 2 0,8 | 4 4 | — — | 150 100 | — | 65/1 65/1 | — |
| ТФНД-35М | 35 35 35 | — | 15—600 800; 1000 1000; 2000 | 5 5 5 | 0,5/Р/Р | 0,5 Р | 1,2 1,2 | 2,4 2,4 | — — | 150 100 50 | — | 45/4 32,5/4 32,5/4 | — |
| ТФНР-35 | 35 35 35 35 | — | 500; 1000 2000; 3200 1000 2000; 3200 | 5 5 1 1 | 0,5/Р/Р 0,5/Р/Р | 0,5 Р 0,5 Р | 1,2 2 30 50 | — — — — | — — — — | 125 145 125 145 | — | 49/4 57/4 49/4 57/4 | — |
| ТФН-66СТ | 66 | 72,5 | 200—400 | 5 | Р/Р/0,5 | 0,5 Р | 1,2 1,2 | — — | — — | 120 | — | 50/3 | — |

Продолжение таблицы Л5

| | | | | | | | | | | | | | |
|-----------------|-----|---|-----------|---|---------|----------|------------|------------|---|-----|---|--------|---|
| ТФНД-110М | 110 | — | 50—600 | 5 | 0,5/P/P | 0,5 P | 1,2 1,2 | — | — | 150 | — | 43,3/3 | — |
| | 110 | — | 400—800 | 5 | | | | | | 110 | — | 34,6/3 | — |
| ТФНД-110М-ХЛ | 110 | — | 50—600 | 5 | 0,5/P/P | 0,5 P | 1,2 1,2 | — | — | 150 | — | 43,3/3 | — |
| | 110 | — | 400—800 | 5 | | | | | | 110 | — | 34,6/3 | — |
| ТФНД-110М-II | 110 | — | 750—1500 | 5 | 0,5/P/P | 0,5 P | 0,8 0,8 | — | — | 75 | — | 60/1 | — |
| | 110 | — | 1000—2000 | 5 | | | | | | 75 | — | 60/1 | — |
| | 110 | — | 750—1500 | 1 | 0,5/P/P | 0,5 P | 20 20 | — | — | 75 | — | 60/1 | — |
| | 110 | — | 1000—2000 | 1 | | | | | | 75 | — | 60/1 | — |
| ТФНД-110М-II-ХЛ | 110 | — | 750—1500 | 5 | 0,5/P/P | 0,5 P | 0,8 0,8 | 2,0 2,0 | — | 75 | — | 34,6/3 | — |
| | 110 | — | 1000—2000 | 5 | | | | | | 75 | — | 34,6/3 | — |
| | 110 | — | 750—1500 | 1 | 0,5/P/P | 0,5 P | 20 20 | 50 50 | — | 75 | — | 34,6/3 | — |
| | 110 | — | 1000—2000 | 1 | | | | | | 75 | — | 34,6/3 | — |

| | | | | | | | | | | | | | |
|-----------|----|----|--------|---|---------------|----------|------------|------------|------------|-----|---|------|---|
| ТПЛ-10 | 10 | 12 | 5—200 | 5 | P; 0,5/P; P/P | 0,5 P | 0,4 0,6 | 1,0 1,0 | 1,2 1,2 | 250 | — | 45/4 | — |
| | 10 | 12 | 300 | 5 | | | | | | 175 | — | 45/4 | — |
| | 10 | 12 | 400 | 5 | | | | | | 165 | — | 35/4 | — |
| ТПЛУ-10 | 10 | 12 | 10—100 | 5 | P; 0,5/P; P/P | 0,5 P | 0,4 0,6 | 1,0 1,0 | 1,2 1,2 | 250 | — | 60/4 | — |
| ТПЛ-10Т3 | 10 | 12 | 50—200 | 5 | P; 0,5/P; P/P | 0,5 P | 0,4 0,6 | 1,0 1,0 | 1,2 1,2 | 250 | — | 45/4 | — |
| | 10 | 12 | 300 | 5 | | | | | | 175 | — | 45/4 | — |
| | 10 | 12 | 400 | 5 | | | | | | 165 | — | 35/4 | — |
| ТПЛУ-10Т3 | 10 | 12 | 50—100 | 5 | P; 0,5/P; P/P | 0,5 P | 0,4 0,6 | 1,0 1,0 | 1,2 1,2 | 250 | — | 60/4 | — |

| | | | | | | | | | | | | | |
|----------|----|----------|-------------------|---|---------------|----------|------------|---|---|------|------|--------|--------|
| ТПЛМ-10 | 10 | — | 5 | 5 | P; 0,5/P; P/P | 0,5 P | 0,4 0,6 | — | — | — | 1,8 | — | 0,17/4 |
| | 10 | — | 10 | 5 | | | | | | — | 3,5 | — | 0,32/4 |
| | 10 | — | 15 | 5 | | | | | | — | 5,3 | — | 0,52/4 |
| | 10 | — | 20 | 5 | | | | | | — | 7,0 | — | 0,66/4 |
| | 10 | — | 30 | 5 | | | | | | — | 10,6 | — | 1,05/4 |
| | 10 | — | 40 | 5 | | | | | | — | 14,0 | — | 1,33/4 |
| | 10 | — | 50 | 5 | | | | | | — | 17,6 | — | 2,45/4 |
| | 10 | — | 75 | 5 | | | | | | — | 26,4 | — | 3,45/4 |
| | 10 | — | 100 | 5 | | | | | | — | 35,2 | — | 4,85/4 |
| | 10 | — | 150 | 5 | | | | | | — | 52,0 | — | 6,25/4 |
| | 10 | — | 200 | 5 | | | | | | — | 70,0 | — | 8,75/4 |
| 10 | — | 300; 400 | 5 | — | 70,0 | — | 12,5/4 | | | | | | |
| ТПЛМУ-10 | 10 | — | 10 | 5 | P; 0,5/P; P/P | 0,5 P | 0,4 0,6 | — | — | — | 3,5 | — | 0,52/4 |
| | 10 | — | 15 | 5 | | | | | | — | 5,3 | — | 0,66/4 |
| | 10 | — | 20 | 5 | | | | | | — | 7,0 | — | 1,05/4 |
| | 10 | — | 30 | 5 | | | | | | — | 10,6 | — | 1,33/4 |
| | 10 | — | 40 | 5 | | | | | | — | 14,0 | — | 1,8/4 |
| | 10 | — | 50 | 5 | | | | | | — | 17,6 | — | 3,45/4 |
| | 10 | — | 75 | 5 | | | | | | — | 26,4 | — | 4,85/4 |
| | 10 | — | 100 | 5 | | | | | | — | 35,2 | — | 6,25/4 |
| | 10 | — | 150 | 5 | | | | | | — | 52,0 | — | 8,75/4 |
| | 10 | — | 200 | 5 | | | | | | — | 70,0 | — | 12,5/4 |
| | 10 | — | 300 | 5 | | | | | | — | 70,0 | — | 17,5/4 |
| ТПЛ-10К | 10 | 11,5 | 10; 15; 30; 60 | 5 | 0,5/P; P/P | 0,5 P | 0,4 0,6 | — | — | — | 175 | — | 45/4 |
| | 10 | 11,5 | 100—400 | 5 | | | | | | 74,5 | — | 14,5/4 | |
| | 10 | 11,5 | 600; 800 | 5 | | | | | | 74,5 | — | 19/4 | |
| | 10 | 11,5 | 1000; 1500 | 5 | | | | | | 74,5 | — | 27/4 | |
| ТПЛ-10КТ | 11 | 12 | 10; 15; 30; 60 | 5 | 0,5/P; P/P | 0,5 P | 0,4 0,6 | — | — | — | 175 | — | 45/4 |
| | 11 | 12 | 100—400 | 5 | | | | | | 74,5 | — | 14,5/4 | |
| | 11 | 12 | 600; 800 | 5 | | | | | | 74,5 | — | 19/4 | |
| | 11 | 12 | 1000; 1500 | 5 | | | | | | 74,5 | — | 27/4 | |

Продолжение таблицы Л5

| | | | | | | | | | | | | | |
|-----------------|-----|---|-----------|---|---------|----------|------------|------------|---|------------|---|------------------|---|
| ТФНД-110М | 110 | — | 50—600 | 5 | 0,5/P/P | 0,5 P | 1,2 1,2 | — | — | 150 110 | — | 43,3/3 34,6/3 | — |
| | 110 | — | 400—800 | 5 | | | | | | | | | |
| ТФНД-110М-ХЛ | 110 | — | 50—600 | 5 | 0,5/P/P | 0,5 P | 1,2 1,2 | — | — | 150 110 | — | 43,3/3 34,6/3 | — |
| | 110 | — | 400—800 | 5 | | | | | | | | | |
| ТФНД-110М-II | 110 | — | 750—1500 | 5 | 0,5/P/P | 0,5 P | 0,8 0,8 | — | — | 75 75 | — | 60/1 60/1 | — |
| | 110 | — | 1000—2000 | 5 | | | | | | | | | |
| | 110 | — | 750—1500 | 1 | 0,5/P/P | 0,5 P | 20 20 | — | — | 75 75 | — | 60/1 60/1 | — |
| | 110 | — | 1000—2000 | 1 | | | | | | | | | |
| ТФНД-110М-II-ХЛ | 110 | — | 750—1500 | 5 | 0,5/P/P | 0,5 P | 0,8 0,8 | 2,0 2,0 | — | 75 75 | — | 34,6/3 34,6/3 | — |
| | 110 | — | 1000—2000 | 5 | | | | | | | | | |
| | 110 | — | 750—1500 | 1 | 0,5/P/P | 0,5 P | 20 20 | 50 50 | — | 75 75 | — | 34,6/3 34,6/3 | — |
| | 110 | — | 1000—2000 | 1 | | | | | | | | | |

| | | | | | | | | | | | | | |
|-----------|----|----|--------|---|---------------|----------|------------|------------|------------|-------------------|---|----------------------|---|
| ТПЛ-10 | 10 | 12 | 5—200 | 5 | P; 0,5/P; P/P | 0,5 P | 0,4 0,6 | 1,0 1,0 | 1,2 1,2 | 250 175 165 | — | 45/4 45/4 35/4 | — |
| | 10 | 12 | 300 | 5 | | | | | | | | | |
| | 10 | 12 | 400 | 5 | | | | | | | | | |
| ТПЛУ-10 | 10 | 12 | 10—100 | 5 | P; 0,5/P; P/P | 0,5 P | 0,4 0,6 | 1,0 1,0 | 1,2 1,2 | 250 | — | 60/4 | — |
| | 10 | 12 | 10—100 | 5 | | | | | | | | | |
| ТПЛ-10Т3 | 10 | 12 | 50—200 | 5 | P; 0,5/P; P/P | 0,5 P | 0,4 0,6 | 1,0 1,0 | 1,2 1,2 | 250 175 165 | — | 45/4 45/4 35/4 | — |
| | 10 | 12 | 300 | 5 | | | | | | | | | |
| | 10 | 12 | 400 | 5 | | | | | | | | | |
| ТПЛУ-10Т3 | 10 | 12 | 50—100 | 5 | P; 0,5/P; P/P | 0,5 P | 0,4 0,6 | 1,0 1,0 | 1,2 1,2 | 250 | — | 60/4 | — |
| | 10 | 12 | 50—100 | 5 | | | | | | | | | |

| | | | | | | | | | | | | | |
|----------|----|----------|-------------------|---|---------------|----------|------------|---|---|---|--|---|--|
| ТПЛМ-10 | 10 | — | 5 | 5 | P; 0,5/P; P/P | 0,5 P | 0,4 0,6 | — | — | — | 1,8 3,5 5,3 7,0 10,6 14,0 17,6 26,4 35,2 52,0 70,0 70,0 | — | 0,17/4 0,32/4 0,52/4 0,66/4 1,05/4 1,33/4 2,45/4 3,45/4 4,85/4 6,25/4 8,75/4 12,5/4 |
| | 10 | — | 10 | 5 | | | | | | | | | |
| | 10 | — | 15 | 5 | | | | | | | | | |
| | 10 | — | 20 | 5 | | | | | | | | | |
| | 10 | — | 30 | 5 | | | | | | | | | |
| | 10 | — | 40 | 5 | | | | | | | | | |
| | 10 | — | 50 | 5 | | | | | | | | | |
| | 10 | — | 75 | 5 | | | | | | | | | |
| | 10 | — | 100 | 5 | | | | | | | | | |
| | 10 | — | 150 | 5 | | | | | | | | | |
| | 10 | — | 200 | 5 | | | | | | | | | |
| 10 | — | 300; 400 | 5 | | | | | | | | | | |
| ТПЛМУ-10 | 10 | — | 10 | 5 | P; 0,5/P; P/P | 0,5 P | 0,4 0,6 | — | — | — | 3,5 5,3 7,0 10,6 14,0 17,6 26,4 35,2 52,0 70,0 70,0 | — | 0,52/4 0,66/4 1,05/4 1,33/4 1,8/4 3,45/4 4,85/4 6,25/4 8,75/4 12,5/4 17,5/4 |
| | 10 | — | 15 | 5 | | | | | | | | | |
| | 10 | — | 20 | 5 | | | | | | | | | |
| | 10 | — | 30 | 5 | | | | | | | | | |
| | 10 | — | 40 | 5 | | | | | | | | | |
| | 10 | — | 50 | 5 | | | | | | | | | |
| | 10 | — | 75 | 5 | | | | | | | | | |
| | 10 | — | 100 | 5 | | | | | | | | | |
| | 10 | — | 150 | 5 | | | | | | | | | |
| | 10 | — | 200 | 5 | | | | | | | | | |
| | 10 | — | 300 | 5 | | | | | | | | | |
| ТПЛ-10К | 10 | 11,5 | 10; 15; 30; 60 | 5 | 0,5/P; P/P | 0,5 P | 0,4 0,6 | — | — | — | 175 74,5 74,5 74,5 | — | 45/4 14,5/4 19/4 27/4 |
| | 10 | 11,5 | 100—400 | 5 | | | | | | | | | |
| | 10 | 11,5 | 600; 800 | 5 | | | | | | | | | |
| | 10 | 11,5 | 1000; 1500 | 5 | | | | | | | | | |
| ТПЛ-10КТ | 11 | 12 | 10; 15; 30; 60 | 5 | 0,5/P; P/P | 0,5 P | 0,4 0,6 | — | — | — | 175 74,5 74,5 74,5 | — | 45/4 14,5/4 19/4 27/4 |
| | 11 | 12 | 100—400 | 5 | | | | | | | | | |
| | 11 | 12 | 600; 800 | 5 | | | | | | | | | |
| | 11 | 12 | 1000; 1500 | 5 | | | | | | | | | |

Продолжение таблицы Л5

| Тип | Вариант исполнения | Номинальный ток, А | | Вторичная нагрузка при $\cos\phi = 0,8$ в классе точности | | | | Ток термической стойкости, кА | Номинальный предельная кратность | |
|---------------------|--------------------|--------------------|-----------|---|-------|-------|----|-------------------------------|----------------------------------|----|
| | | первичный | вторичный | 0,5 | 1 | 3 | 10 | | | |
| ТВ35-IV2 | 300/5 | 100 | — | — | — | — | 20 | 10 | — | |
| | | 150 | 5 | — | — | 20 | — | | 5 | |
| | | 200 | — | — | — | 20 | — | | 9 | |
| | | 300 | — | 10 | — | — | — | | 25 | |
| 600/5 | 5 | 200 | — | — | — | 20 | — | 10 | 9 | |
| | | 300 | — | 10 | — | — | — | | 25 | |
| | | 400 | — | 20 | — | — | — | | 16 | |
| | | 600 | 10 | — | — | — | — | | 16* | |
| 1500/5 | 5 | 600 | — | 10 | — | — | — | 10 | 16 | |
| | | 750 | — | 30 | — | — | — | | 13 | |
| | | 1000 | — | 30 | — | — | — | | 10 | |
| | | 1500 | — | 30 | — | — | — | | 6,5 | |
| 150/5** | 5 | 50 | — | — | — | — | 10 | 10 | — | |
| | | 75 | — | — | — | — | 20 | | — | |
| | | 100 | — | — | — | — | 20 | | — | |
| | | 150 | — | — | — | — | 30 | | 2 | |
| ТВ35-IV2; ХЛ2 | 300/5 | 100 | — | — | — | — | 20 | 10 | — | |
| | | 150 | 5 | — | — | — | 30 | | 2 | |
| 600/5 | 5 | 200 | — | — | — | — | 40 | 10 | 7 | |
| | | 300 | — | — | — | 30 | — | | — | |
| 400 | 5 | 200 | — | — | — | — | — | 10 | 2 | |
| | | 600 | — | 30 | — | — | — | | 7 | |
| ТВ35-IIIУ2; ХЛ2 | 200/5** | 75 | — | — | — | — | 20 | 25 | — | |
| | | 100 | 5 | — | — | — | 20 | | — | |
| | | 150 | — | — | — | — | — | | 5 | |
| | | 200 | — | — | — | — | — | | 9 | |
| 300/5 | 5 | 100 | — | — | — | — | 20 | 25 | — | |
| | | 150 | — | — | — | 20 | — | | 5 | |
| | | 200 | — | 10 | — | 20 | — | | 9 | |
| | | 300 | — | — | — | — | — | | 16 | |
| 600/5 | 5 | 200 | — | — | — | 20 | — | 25 | 9 | |
| | | 300 | — | 10 | — | — | — | | 16 | |
| | | 400 | — | 20 | — | — | — | | 12 | |
| | | 600 | 10 | — | — | — | — | | 30 | |
| 1500/5 | 5 | 600 | — | 10 | — | — | — | 25 | 30 | |
| | | 750 | — | 30 | — | — | — | | 20 | |
| | | 1000 | — | 30 | — | — | — | | 22 | |
| | | 1500 | — | 30 | — | — | — | | 16* | |
| Тип | Вариант исполнения | Номинальный ток, А | | Вторичная нагрузка при $\cos\phi = 0,8$ в классе точности | | | | Ток термической стойкости, кА | Номинальная предельная кратность | |
| | | первичный | вторичный | 0,5 | 1 | 3 | 10 | | | |
| ТВ110-IV2; ХЛ2 | 200/5** | 75 | — | — | — | — | 10 | 20 | — | |
| | | 100 | 5 | — | — | — | 20 | | — | |
| | | 150 | — | — | — | — | — | | 20 | 22 |
| | | — | — | — | — | — | — | | — | — |
| 300/5 | 5 | 200 | — | — | — | 10*** | 30 | 20 | — | |
| | | 100 | — | — | — | — | 20 | | — | |
| | | 150 | — | — | — | — | 20 | | — | |
| | | 200 | — | — | — | 10*** | 30 | | 22 | |
| 600/5 | 5 | 200 | — | — | — | 10*** | 30 | 20 | 22 | |
| | | 300 | — | — | — | 15*** | 40 | | 20 | |
| | | 400 | — | — | — | 30 | — | | 15 | |
| | | 600 | 10 | 20 | 50*** | — | — | | 25 | |
| 1000/5 | 5 | 400 | — | 10 | — | 30*** | — | 20 | 15 | |
| | | 600 | — | 20 | — | 50*** | — | | 25 | |
| | | 750 | — | 25 | — | 75*** | — | | 15 | |
| | | 1000 | — | 30 | — | — | — | | 20* | |
| ТВ110-IIIУ2; ХЛ2 | 200/5** | 75 | — | — | — | — | 15 | 50 | — | |
| | | 100 | 5 | — | — | — | 20 | | 5 | |
| | | 150 | — | — | — | — | 20 | | 10 | |
| | | 200 | — | 10 | 20*** | — | — | | 20 | |
| 300/5** | 5 | 100 | — | — | — | — | 20 | 50 | 5 | |
| | | 150 | — | — | — | — | 20 | | 10 | |
| | | 200 | — | 10 | 20*** | — | — | | 20 | |
| | | 300 | — | 15 | 30*** | — | — | | 20 | |
| 600/5 | 5 | 200 | — | — | — | 15 | — | 50 | 34 | |
| | | 300 | — | 15 | — | — | — | | 50 | |
| | | 400 | — | 25 | — | — | — | | 40 | |
| | | 600 | 25 | — | — | — | — | | 60 | |
| 1000/5 | 5 | 500 | — | 10*** | 15 | — | — | 50 | 80 | |
| | | 600 | — | 25 | — | — | — | | 60 | |
| | | 750 | — | 50 | — | — | — | | 37 | |
| | | 1000 | — | 50 | — | — | — | | 50* | |
| 2000/5 | 5 | 1000 | — | 50 | — | — | — | 50 | 50* | |
| | | 1200 | — | 50 | — | — | — | | 42 | |
| | | 1500 | — | 50 | — | — | — | | 33* | |
| | | 2000 | — | 50 | — | — | — | | 25* | |
| 1000/1 | 1 | 500 | — | 25*** | 60 | — | — | 50 | 50 | |
| | | 600 | — | 30 | 60 | — | — | | 50 | |
| | | 750 | — | 50 | 60 | — | — | | 37 | |
| | | — | — | — | — | — | — | | — | |

Продолжение таблицы Л5

| Тип | Вариант исполнения | Номинальный ток, А | | Вторичная нагрузка при $\cos \varphi = 0,8$ в классе точности | | | | Ток термической стойкости, кА | Номинальная предельная кратность |
|----------|--------------------|--------------------|-----------|---|---|----|----|-------------------------------|----------------------------------|
| | | первичный | вторичный | 0,5 | 1 | 3 | 10 | | |
| ТВ10-IV2 | 6000/5 | 6000 | 5 | 20 | — | — | — | 85,5 | 3 |
| | | 75 | | — | — | 20 | — | | |
| | 200/5 | 100 | | — | — | 20 | — | 10 | — |
| | | 150 | | — | — | 20 | — | | 5 |
| | | 200 | | — | — | 20 | — | | 9 |

Таблица Л6 – Параметры трансформаторов напряжения на 10-110 кВ

| Тип | $U_{\text{НОМ}}$ обмоток | | | $S_{\text{НОМ}}$ В·А | | | $S_{\text{МАХ}}$ В·А | Размеры, мм | | | Масса, кг | |
|---------------|---|-----------------|----------------|----------------------|-----|-----|----------------------|-------------------|-----|-----|-----------|--------|
| | ВН, кВ | НН, В | | Класс точности | | | | l | b | H | полная | мас-ла |
| | | основной | дополнительной | 0,5 | 1 | 3 | | | | | | |
| НОСЛ-10 | 10 | 100 | — | 75 | 150 | 300 | 640 | 335 | 208 | 313 | 33 | — |
| НОМ-6 | 6; 6,3 | 100 | — | 50 | 75 | 200 | 400 | 267 | 242 | 350 | 22 | 6 |
| НОМ-10 | 10; 10,5 | 100 | — | 75 | 150 | 300 | 640 | 308 | 282 | 472 | 35 | 7 |
| НОМ-15 | 13,8; 15,75 | 100 | — | 75 | 150 | 300 | 640 | 590 | 220 | 620 | 81 | 23 |
| НОМ-35-66 | 35 | 100 | — | 150 | 250 | 600 | 1200 | 620 | 472 | 850 | 86 | 10 |
| ЗНОСЛТ-3 | 3: $\sqrt{3}$ | 100: $\sqrt{3}$ | 100:3 | 30 | 50 | 150 | 240 | 275 | 170 | 277 | 25 | — |
| ЗНОСЛТ-6 | 6: $\sqrt{3}$; 6,3: $\sqrt{3}$ | 100: $\sqrt{3}$ | 100:3 | 50 | 75 | 200 | 400 | 296 | 178 | 295 | 30 | — |
| ЗНОСЛТ-10 | 10: $\sqrt{3}$ | 100: $\sqrt{3}$ | 100:3 | 75 | 150 | 300 | 640 | 319 | 185 | 317 | 40 | — |
| ЗНОСЛТ-35 | 35: $\sqrt{3}$ | 100: $\sqrt{3}$ | 100:3 | 150 | 250 | 600 | 1200 | 400 | 300 | 343 | 80 | — |
| ЗНОСЛ. 06-6 | 3: $\sqrt{3}$ | 100: $\sqrt{3}$ | 100:3 | 30 | 50 | 240 | 240 | 335 | 190 | 296 | 28 | — |
| | 6: $\sqrt{3}$ | 100: $\sqrt{3}$ | 100:3 | 50 | 75 | 200 | 400 | | | | | |
| ЗНОСЛ. 06-10 | 10: $\sqrt{3}$ | 100: $\sqrt{3}$ | 100:3 | 75 | 150 | 300 | 640 | 335 | 190 | 309 | 30 | — |
| ЗНОСЛ. 06-15 | 13,8: $\sqrt{3}$; 15,75: $\sqrt{3}$ | 100: $\sqrt{3}$ | 100:3 | 75 | 150 | 300 | 640 | 335 | 195 | 319 | 36 | — |
| ЗНОСЛ. 06-20 | 18: $\sqrt{3}$; 20: $\sqrt{3}$ | 100: $\sqrt{3}$ | 100:3 | 75 | 150 | 300 | 640 | 335 | 205 | 345 | 39 | — |
| ЗНОСЛ. 06-24 | 24: $\sqrt{3}$ | 100: $\sqrt{3}$ | 100:3 | 75 | 150 | 300 | 640 | 345 | 240 | 353 | 47 | — |
| ЗНОСЛ. 07-6 | 6: $\sqrt{3}$ | 100: $\sqrt{3}$ | 100:3 | 50 | 75 | 200 | 400 | 295 | 176 | 285 | 29 | — |
| ЗНОСЛ. 07- 10 | 10: $\sqrt{3}$ | 100: $\sqrt{3}$ | 100:3 | 75 | 150 | 300 | 640 | 295 | 176 | 285 | 33 | — |
| ЗНОСЛ. 09-6 | 3: $\sqrt{3}$; 3,3: $\sqrt{3}$ | 100: $\sqrt{3}$ | 100:3 | 30 | 50 | 150 | 240 | 335 | 190 | 308 | 30 | — |
| | 6: $\sqrt{3}$; 6,3: $\sqrt{3}$ | 100: $\sqrt{3}$ | 100:3 | 50 | 75 | 200 | 400 | 335 | 190 | 308 | 30 | — |
| ЗНОСЛ. 09-10 | 10: $\sqrt{3}$; 11: $\sqrt{3}$ | 100: $\sqrt{3}$ | 100:3 | 75 | 150 | 300 | 640 | 335 | 190 | 308 | 33 | — |
| ЗНОМ-15-63 | 13,8: $\sqrt{3}$; 15,75: $\sqrt{3}$ | 100: $\sqrt{3}$ | 100:3 | 75 | 150 | 300 | 640 | $\varnothing 600$ | 620 | 63 | 14 | |
| ЗНОМ-20-63 | 18: $\sqrt{3}$; 20: $\sqrt{3}$ | 100: $\sqrt{3}$ | 100:3 | 75 | 150 | 300 | 640 | $\varnothing 600$ | 890 | 77 | 18 | |
| ЗНОМ-24-69 | 24: $\sqrt{3}$ | 100: $\sqrt{3}$ | 100:3 | 150 | 250 | 600 | 980 | $\varnothing 705$ | 905 | 108 | 18 | |
| ЗНОМ-35-65 | 35: $\sqrt{3}$ | 100: $\sqrt{3}$ | 100:3 | 150 | 250 | 600 | 1200 | 480 | 376 | 910 | 78 | 16 |

Продолжение таблицы Л6

| Тип | $U_{\text{НОМ}}$ обмоток | | | $S_{\text{НОМ}}$ В·А | | | $S_{\text{МАХ}}$ В·А | Размеры, мм | | | Масса, кг | |
|-----------------------------------|--------------------------|-----------------|------------------|----------------------|-----|------|----------------------|-------------|------|--------|-----------|--------|
| | ВН, кВ | НН, В | | Класс точности | | | | l | b | H | пол-ная | мас-ла |
| | | основной | допол-нитель-ный | 0,5 | 1 | 3 | | | | | | |
| НТС-0,5 | 0,38; 0,5 | 100 | — | 50 | 75 | 200 | 400 | 294 | 111 | 234 | 8,5 | — |
| НТМК-6 | 3 | 100 | — | 50 | 75 | 200 | 400 | 324 | 305 | 640 | 47 | 15 |
| НТМК-6 | 6 | 100 | — | 75 | 150 | 300 | 640 | 324 | 305 | 640 | 47 | 15 |
| НТМК-10 | 10 | 100 | — | 120 | 200 | 500 | 960 | ∅380 | | 858 | 92 | 27 |
| НТМИ-6-66 | 3 | 100 | 100:3 | 50 | 75 | 200 | 400 | 453 | 445 | 387 | 60 | 12 |
| НТМИ-6-66 | 6 | 100 | 100:3 | 75 | 150 | 300 | 640 | 453 | 445 | 387 | 60 | 12 |
| НТМИ-10-66 | 10 | 100 | 100:3 | 120 | 200 | 500 | 960 | 453 | 445 | 507 | 80 | 19 |
| НТМИ-18 | 13,8; 15,75 | 100 | 100:3 | 120 | 200 | 500 | 960 | 1044 | 480 | 730 | 290 | 94 |
| НКФ-110-57 | 110: $\sqrt{3}$ | 100: $\sqrt{3}$ | 100 | 400 | 600 | 1200 | 2000 | ∅710 | | 1630 | 620 | 155 |
| НКФ-110-58 | 110: $\sqrt{3}$ | 100: $\sqrt{3}$ | 100:3 | 400 | 600 | 1200 | 2000 | ∅710 | | 1630 | 620 | 155 |
| НКФ-220-58 | 220: $\sqrt{3}$ | 100: $\sqrt{3}$ | 100 | 400 | 600 | 1200 | 2000 | 1044 | 1044 | 3360 | 1390 | 320 |
| НКФ-330 | 330: $\sqrt{3}$ | 100: $\sqrt{3}$ | 100 | — | 500 | 1000 | 2000 | 1200 | 1200 | 5300 | 2210 | 480 |
| НКФ-500 | 500: $\sqrt{3}$ | 100: $\sqrt{3}$ | 100 | — | 500 | 1000 | 2000 | 1850 | 1850 | 6950 | 4850 | 1160 |
| НДЕ-500 | 500: $\sqrt{3}$ | 100: $\sqrt{3}$ | 100 | 300 | 500 | 1000 | 1200 | 750 | 750 | 5035 | 3262* | — |
| НДЕ-750 | 750: $\sqrt{3}$ | 100: $\sqrt{3}$ | 100 | 300 | 500 | 1000 | 1200 | 750 | 750 | 6410 | 3600* | — |
| НДЕ-1150 | 1150: $\sqrt{3}$ | 100: $\sqrt{3}$ | 100 | — | 300 | 600 | 1200 | 750 | 750 | 10 510 | 6650* | — |
| Электромагнитное устройство к НДЕ | 11,44—12,7 | 100: $\sqrt{3}$ | 100 | — | — | — | — | 578 | 770 | 1415 | 492 | 150 |

* Масса и размеры даны для колонны конденсаторов.

Примечания: 1. Значения букв и цифр в условных обозначениях типов трансформаторов: Н — напряжения; вид трансформатора; О — однофазный, Т — трехфазный, З — заземляемый (заземляется конец обмотки ВН), ДЕ — емкостный, К — каскадный, И — трехобмоточный (с обмоткой для контроля изоляции сети); вид охлаждения: С — естественное воздушное при открытом исполнении, сухой, СЛ — естественное воздушное при исполнении с литой изоляцией, СК — естественное воздушное при заливке битумной массой или компаундом исполнения, М — естественная циркуляция воздуха и масла; первое число за знаком тире — класс напряжения, второе — год разработки; в трансформаторах напряжения с литой изоляцией число, стоящее после буквенной части, означает серию разработки: 06 — с разрезным магнитопроводом; 08,09 — серия для применения в условиях выпадения росы.

2. В комплект трансформаторов напряжения типа НДЕ входят конденсаторы: для 500 кВ — СМРИ-166/ $\sqrt{3}$ -0,014 — 3 шт., для 750 кВ — СМРИ-188/ $\sqrt{3}$ -0,012 — 4 шт., для 1150 кВ — СМРИ-166/ $\sqrt{3}$ -0,014 — 7 шт. и по одному конденсатору

отбора мощности ОМРИ-15-0,107. Колонна конденсаторов устанавливается на изолирующую подставку из фарфора типа ПИ-3 высотой 455 мм.

3. Трансформаторы напряжения типа НКФ состоят из блоков: 110 кВ — 1 блок, 220 кВ — 2 блока, 330 кВ — 3 блока, 400 и 500 кВ — 4 блока.

4. Трехфазные двухобмоточные и трехобмоточные трансформаторы имеют схему соединения $Y/Y_{\text{H}}-0$, однофазные соединяются в трехфазную группу по схеме $Y_{\text{H}}/Y_{\text{H}}-0$, дополнительные вторичные обмотки соединяются в открытый треугольник.

5. По согласованию с предприятием-изготовителем масляные трансформаторы должны изготавливаться с вводами или фарфоровыми покрышками усиленного исполнения по ГОСТ 9920-75.

6. Фактическая длина пути утечки внешней изоляции, см: НДЕ-750—1120, НДЕ-500—810, НКФ-500—898, НКФ-330—594, НКФ-220—396, НКФ-110—198, ЗНОМ-35—79, НОМ-35—63.

7. Расчетные значения u_{K} по данным московского ПО «Электроавтомат»: НОМ-10—0,586, НОМ-15—0,554, НОМ-35—0,482, ЗНОМ-20—0,586, ЗНОМ-24—0,675, ЗНОМ-35—0,706, НКФ-110—0,8, НКФ-220—0,81, НКФ-330—0,86, НКФ-500—1,06.

Таблица Л7- Параметры ограничителей перенапряжений нелинейные

| Типы ОПН | Класс напряжения, кВ | Наибольшее длительно-допустимое рабочее напряжение, кВ | Масса, не более, кг | Внешний диаметр | Высота, мм |
|---|---|--|---------------------|-----------------|------------|
| ОПН для защиты кабельных и промышленных электрических сетей напряжением 3-10 кВ | | | | | |
| ОПН-КР/TEL УХЛ 2 | 6 | 6,0 | 0,7 | 65 | 95 |
| | | 6,9 | 0,7 | 65 | 95 |
| | 10 | 10,5 | 0,9 | 65 | 125 |
| | | 12,0 | 0,9 | 65 | 125 |
| ОПН-РТ/TEL УХЛ 2 | 3 | 3,0 | 1,1 | 75 | 95 |
| | | 4,0 | 1,1 | 75 | 95 |
| | 6 | 6,0 | 1,1 | 75 | 100 |
| | | 6,9 | 1,1 | 75 | 100 |
| | 10 | 10,5 | 1,5 | 75 | 135 |
| | | 11,5 | 1,5 | 75 | 135 |
| ОПН для защиты воздушных электрических сетей напряжением 6-10 кВ | | | | | |
| ОПН-РС УХЛ 1 | 6 | 7,6 | 1,8 | 100 | 130 |
| | 10 | 12,7 | 2,5 | 100 | 190 |
| ОПН-Т УХЛ 1 | 6 | 6,0 | 2,3 | 115 | 130 |
| | | 6,9 | 2,3 | 115 | 130 |
| | | 7,6 | 2,3 | 115 | 130 |
| | 10 | 10,5 | 3,0 | 115 | 185 |
| | | 11,5 | 3,0 | 115 | 185 |
| | | 12,7 | 3,0 | 115 | 185 |
| ОПН для защиты воздушных электрических сетей высокого напряжения 27-220 кВ | | | | | |
| ОПН-У УХЛ 1 | 27 | 30 | 18 | 225 | 580 |
| | | 33 | 18 | 225 | 580 |
| | 35 | 38,5 | 20 | 225 | 735 |
| | | 40,5 | 20 | 225 | 735 |
| | | 42 | 20 | 225 | 735 |
| | 110 | 73 | 30 | 225 | 1200 |
| | | 77 | 30 | 225 | 1200 |
| | | 84 | 30 | 225 | 1200 |
| | 220 | 146 | 70 | 225 | 2500 |
| | | 154 | 70 | 225 | 2500 |
| | | 168 | 70 | 225 | 2500 |
| | ОПН для защиты изоляции нейтрали трансформаторов напряжением 110-220 кВ | | | | |
| ОПН-У УХЛ 1 | 110 | 56 | 30 | 225 | 1200 |
| | 220 | 120 | 70 | 225 | 2500 |

Продолжение таблицы Л7

| Остающееся напряжение при импульсе тока 30/60 мкс, кА | | Остающееся напряжение при импульсе тока 8/20 мкс, кА | | | | |
|---|-------|--|--------|--------|---------|---------|
| 250 А | 500 А | 500 А | 1000 А | 5000 А | 10000 А | 20000 А |
| ОПН для защиты кабельных и промышленных электрических сетей напряжением 3-10 кВ | | | | | | |
| - | 15 | - | 15,6 | 17,7 | 19 | 21,2 |
| - | 17 | - | 17,6 | 20,0 | 21,5 | 24,0 |
| - | 26,1 | - | 27,0 | 30,7 | 33,0 | 36,7 |
| - | 31,3 | - | 32,4 | 36,9 | 39,6 | 44,1 |
| 7,0 | 7,2 | - | - | 8,5 | 9,3 | 10,4 |
| 9,4 | 9,6 | - | - | 11,5 | 12,5 | 14,0 |
| 14,0 | 14,4 | - | - | 17,2 | 18,7 | 21,0 |
| 16,1 | 16,6 | - | - | 19,7 | 21,5 | 24,1 |
| 24,5 | 25,2 | - | - | 30,0 | 32,7 | 36,6 |
| 26,9 | 27,6 | - | - | 32,8 | 35,8 | 40,1 |
| ОПН для защиты воздушных электрических сетей напряжением 6-10 кВ | | | | | | |
| 18,9 | - | 19,0 | - | 23,9 | 25,7 | - |
| 31,5 | - | 31,7 | - | 40,0 | 42,8 | - |
| 14,0 | 14,6 | 14,7 | - | 17,2 | 18,5 | - |
| 16,2 | 16,9 | 17,0 | - | 19,9 | 21,5 | - |
| 17,7 | 18,5 | 18,6 | - | 21,8 | 23,6 | - |
| 24,9 | 26,0 | 26,2 | - | 30,6 | 33,0 | - |
| 27,1 | 28,2 | 28,4 | - | 33,2 | 35,8 | - |
| 30,0 | 31,2 | 31,4 | - | 36,8 | 39,6 | - |
| ОПН для защиты воздушных электрических сетей высокого напряжения 27-220 кВ | | | | | | |
| 72 | 75 | 76 | - | 90 | 97 | 105 |
| 80 | 83 | 84 | - | 99 | 107 | 117 |
| 91,5 | 95 | 96 | - | 113 | 122 | 132 |
| 96 | 100 | 101 | - | 119 | 128 | 138 |
| 100 | 104 | 105 | - | 123 | 133 | 144 |
| 178 | 183 | 185 | - | 218 | 233 | 251 |
| 186 | 193 | 195 | - | 230 | 246 | 264 |
| 203 | 211 | 213 | - | 251 | 269 | 289 |
| 356 | 366 | 370 | - | 436 | 466 | 502 |
| 372 | 386 | 390 | - | 460 | 492 | 528 |
| 406 | 422 | 426 | - | 502 | 538 | 580 |
| ОПН для защиты изоляции нейтрали трансформаторов напряжением 110-220 кВ | | | | | | |
| 136 | 141 | 142 | - | 168 | 179 | 192 |
| 293 | 301 | 304 | - | 358 | 383 | 413 |

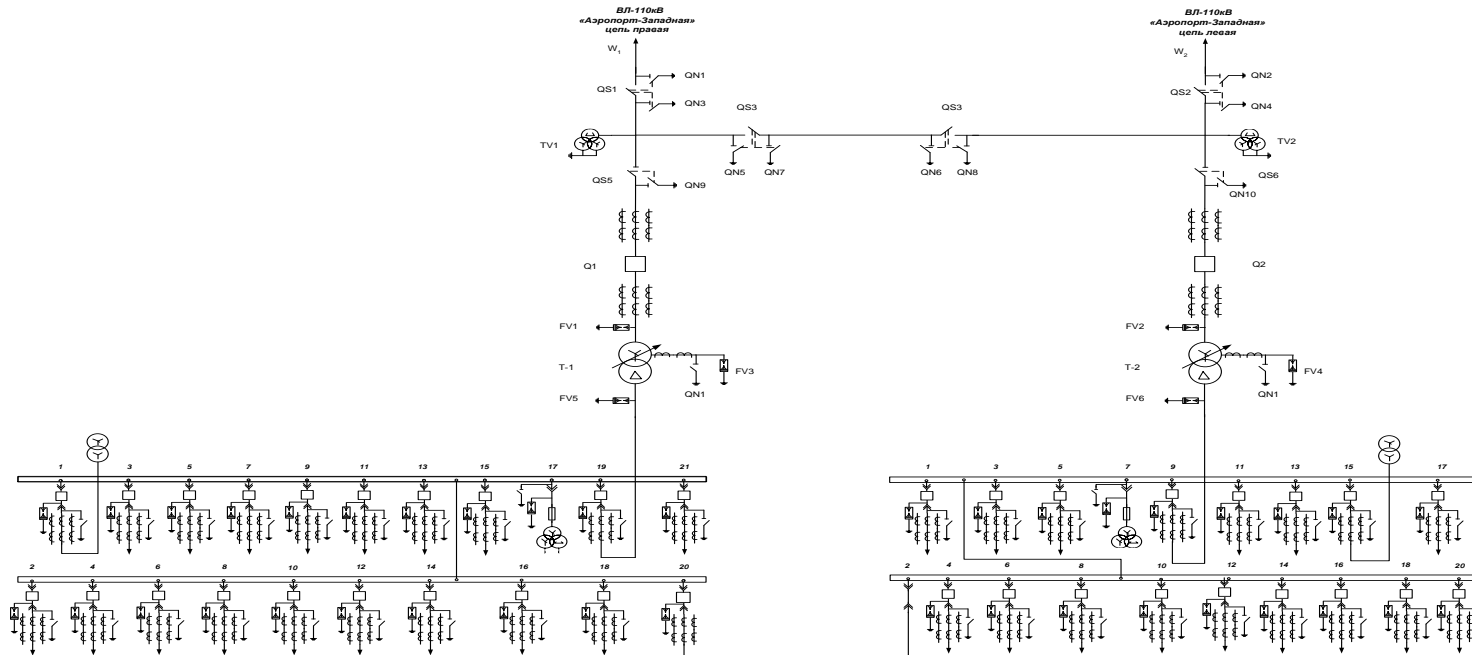
Таблица Л8- Параметры электроизмерительных приборов

| Наименование прибора | Тип | Класс точности | Потребляемая мощность обмотки, В·А | | Размеры, мм |
|---|----------|----------------|------------------------------------|------------|-----------------|
| | | | тока | напряжения | |
| Приборы стрелочные, показывающие | | | | | |
| Амперметр | Э-335 | 1,0 | 0,5 | — | 120 × 120 × 85 |
| | Э-350 | 1,5 | 0,5 | — | 96 × 96 × 63 |
| | Э-365 | 1,5 | 0,5 | — | 120 × 120 × 68 |
| Вольтметр | Э-379 | 1,5 | 0,5 | — | 120 × 120 × 55 |
| | Э-335 | 1,0 | — | 2 | 120 × 120 × 85 |
| | Э-350 | 1,5 | — | 2 | 96 × 96 × 63 |
| | Э-365 | 1,5 | — | 2 | 120 × 120 × 68 |
| Ваттметр для трехфазных трехпроводных цепей | Э-379 | 1,5 | — | 2 | 120 × 120 × 55 |
| | Д-335 | 1,5 | 0,5 | 1,5 | 120 × 120 × 96 |
| | Д-304 | 1,5 | 0,5 | 2 | 120 × 120 × 80 |
| | Д-345 | 1,5 | 0,5 | 2 | 120 × 120 × 78 |
| Варметр для трехфазных трехпроводных цепей | Д-350 | 1,5 | 0,5 | 2 | 96 × 96 × 90 |
| | Д-304 | 1,5 | 0,5 | 2 | 120 × 120 × 80 |
| | Д-335 | 1,5 | 0,5 | 1,5 | 120 × 120 × 96 |
| | Д-345 | 1,5 | 0,5 | 2 | 120 × 120 × 78 |
| Частотомер | Д-345 | 1,5 | 0,5 | 2 | 96 × 96 × 90 |
| | Э-362 | 2,5 | — | 1 | 120 × 120 |
| | Э-352 | 2,5 | — | 1 | 96 × 96 × 80 |
| | Э-353 | 2,5 | — | 1 | 144 × 144 × 89 |
| Синхроноскоп | Э-373 | 2,5 | — | 1 | 120 × 120 × 97 |
| | Э-327 | ± 3° | — | 10 | 120 × 120 × 121 |
| Приборы регистрирующие | | | | | |
| Амперметр | Н-394 | 2,5 | 10 | — | 160 × 160 × 270 |
| | Н-393 | 1,5 | 10 | — | 160 × 172 × 260 |
| Вольтметр | Н-394 | 2,5 | — | 10 | 160 × 160 × 270 |
| | Н-393 | 1,5 | — | 10 | 160 × 172 × 260 |
| Ваттметр, варметр | Н-395 | 1,5 | 10 | 10 | 160 × 160 × 360 |
| Частотомер | Н-397 | 0,5 | — | 7 | 160 × 160 × 370 |
| Фиксатор импульсного действия | ФИП | — | — | 3 | — |
| Приборы интегрирующие | | | | | |
| Счетчик ватт-часов трехфазный для трехпроводных цепей | СА3-И670 | 2,0 | 2,5 | 1,5 Вт | 282 × 165 × 128 |
| | СА3-И674 | 1,0 | 2,5 | 3,0 Вт | 340 × 183 × 126 |
| | СА3-И681 | 1,0 | 2,5 | 2,0 Вт | 282 × 173 × 127 |
| То же для четырехпроводных цепей | СА3-И675 | 1,0 | 2,5 | 3,0 Вт | 340 × 188 × 128 |
| Счетчик вольт-ампер-часов реактивный | СР4-И676 | 1,5 | 2,5 | 3,0 Вт | 340 × 183 × 126 |
| | СР4-И689 | 1,5 | 2,5 | 3,0 Вт | 282 × 165 × 121 |

Пример выполнения схемы электрических соединений подстанции

01.12162.001.ЭС2

| | |
|---|--|
| ВЛ-110 кВ | |
| Разъединитель с двумя заземляющими ножами SSB 2 - 2AM - 123 | |
| Трансформатор напряжения 110кВ ЗАР-1 ДДВ-123 | |
| Разъединитель с одним(двумя) заземляющими ножами, 1000А SSB 2 - AM - 123 (SSB2 - 2AM - 123) | |
| 10P/10P 800/500/400/200/5 Выключатель 110кВ ЗАР-1 ДТ-123 123 кВ 1250 А 25А, 10P/0,5 600/500/400/200/5 | |
| Ограничитель перенапряжений 110кВ ОПН-110-У УХЛ 1 | |
| Т-1,Т-2 :ТДН-1600/110-У1 110/160, 11кВ УмД-11 | |
| Ограничитель перенапряжений 10кВ ОПН-РС-10-УХЛ 1 | |
| Сборные шины 10кВ, 1900 А; | |
| РУ-10кВ КМ-1КФ | |



| | | | | | | | | | | | |
|--------------------------------|-----------------|---------|-----------|--------|--------|--------|--------|--------|---------|-----------|--------|
| №№ ячеек | 1 | 3 | 5 | 7 | 9 | 11 | 13 | 15 | 17 | 19 | 21 |
| Назначение камеры | ТСН№ 1 | Тп-С-54 | РП-69 Тсш | резерв | резерв | резерв | резерв | резерв | ТН-10 | Ввод-10-1 | резерв |
| Обозначение камеры | ШВВ 02 | ШВВ 02 | ШВВ 02 | ШВВ 02 | ШВВ 02 | ШВВ 02 | ШВВ 02 | ШВВ 02 | ШТН | ШВВ 04 | ШВВ 02 |
| Выключатель «Siemens» | Тип | ЗАН 5 | ЗАН 5 | ЗАН 5 | ЗАН 5 | ЗАН 5 | ЗАН 5 | ЗАН 5 | | ЗАН 5 | ЗАН 5 |
| | Номинальный ток | 800 | 800 | 800 | 800 | 800 | 800 | 800 | | 800 | 800 |
| Трансформатор тока ГОЛ-10 | | | 100/5 | | | | | | | 1500/5 | 200/5 |
| Трансформатор напряжения | | | | | | | | | | | |
| Трансформатор собственных нужд | ТМ-100 | | | | | | | | НТМН-10 | | |

I Секция шин 10кВ

| | | | | | | | | | | |
|--------------------------------|-----------------|---------|--------|--------|--------|---------|--------|--------|--------|--------|
| №№ ячеек | 2 | 4 | 6 | 8 | 10 | 12 | 14 | 16 | 18 | 20 |
| Назначение камеры | Тп-19 | Тп-1025 | резерв | резерв | резерв | Тп-С-96 | резерв | резерв | резерв | СВВ-10 |
| Обозначение камеры | ШВВ 02 | ШВВ 02 | ШВВ 02 | ШВВ 02 | ШВВ 02 | ШВВ 02 | ШВВ 02 | ШВВ 02 | ШВВ 02 | ШВВ 03 |
| Выключатель «Siemens» | Тип | ЗАН 5 | ЗАН 5 | ЗАН 5 | ЗАН 5 | ЗАН 5 | ЗАН 5 | ЗАН 5 | ЗАН 5 | ЗАН 5 |
| | Номинальный ток | 800 | 800 | 800 | 800 | 800 | 800 | 800 | 800 | 1250 |
| Трансформатор тока ГОЛ-10 | | | | | | | | | | 1000/5 |
| Трансформатор напряжения | | | | | | | | | | |
| Трансформатор собственных нужд | | | | | | | | | | |

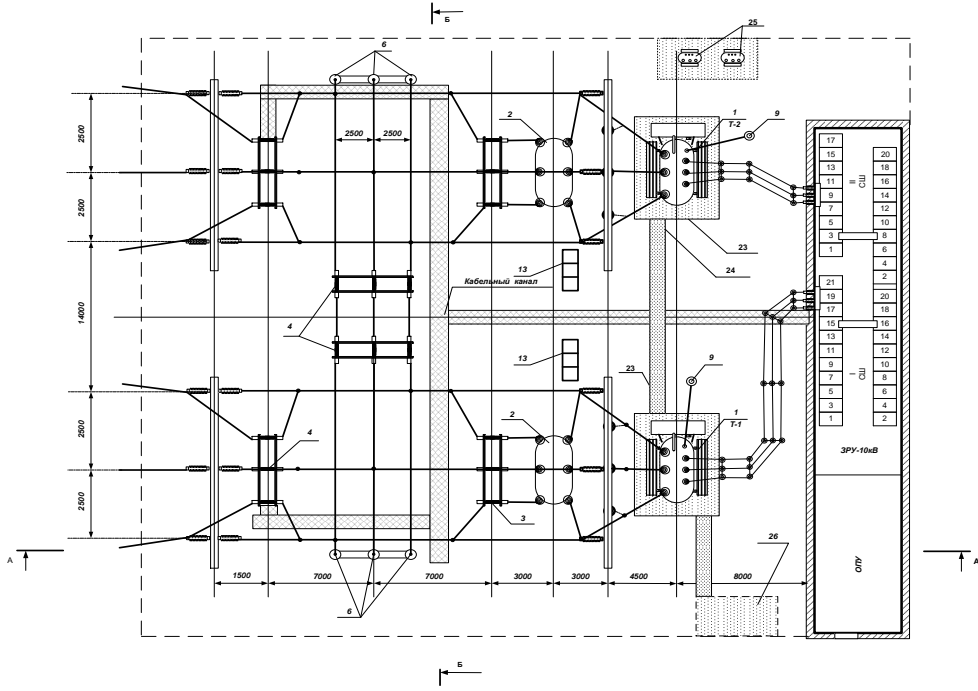
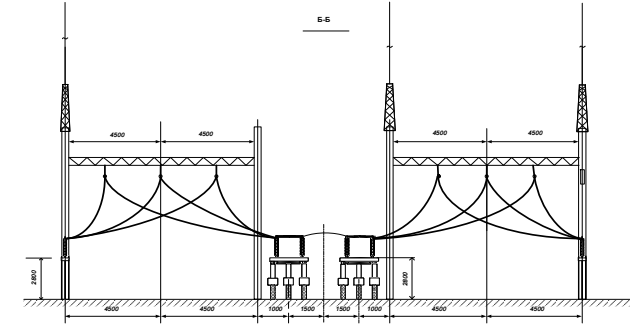
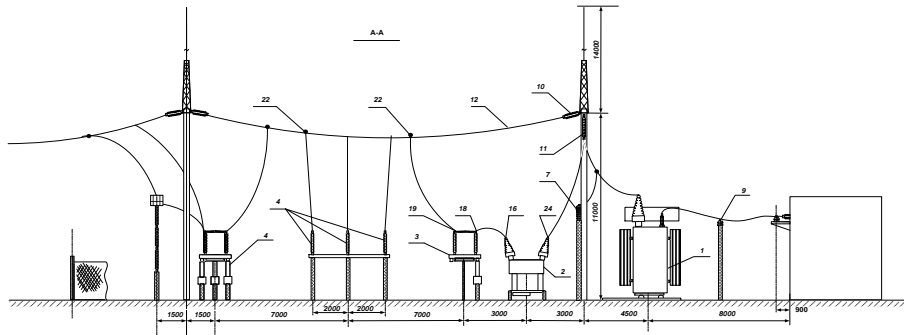
| | | | | | | | | | |
|--------------------------------|-----------------|--------|--------|-------|-----------|---------|--------|--------|-----------|
| №№ ячеек | 1 | 3 | 5 | 7 | 9 | 11 | 13 | 15 | 17 |
| Назначение камеры | Тп-1058 | РП-53 | резерв | ТН-10 | Ввод-10-2 | Тп-С-41 | резерв | ТСН№ 1 | РП-69 2сш |
| Обозначение камеры | ШВВ 02 | ШВВ 02 | ШВВ 02 | ШТН | ШВВ-04 | ШВВ 02 | ШВВ 02 | ШВВ 02 | ШВВ 02 |
| Выключатель «Siemens» | Тип | ЗАН 5 | ЗАН 5 | ЗАН 5 | | ЗАН 5 | ЗАН 5 | ЗАН 5 | ЗАН 5 |
| | Номинальный ток | 800 | 800 | 800 | | 1600 | 800 | 800 | 800 |
| Трансформатор тока ГОЛ-10 | | | | | 1500/5 | 100/5 | | 100/5 | 200/5 |
| Трансформатор напряжения | | | | | | | | | |
| Трансформатор собственных нужд | | | | | | | | ТМ-100 | |

II Секция шин 10кВ

| | | | | | | | | | | |
|--------------------------------|-----------------|--------|--------|--------|--------|--------|--------|--------|--------|--------|
| №№ ячеек | 2 | 4 | 6 | 8 | 10 | 12 | 14 | 16 | 18 | 20 |
| Назначение камеры | СР-10 | Тп-593 | резерв | резерв | резерв | резерв | резерв | резерв | резерв | резерв |
| Обозначение камеры | ШВВ 02 | ШВВ 02 | ШВВ 02 | ШВВ 02 | ШВВ 02 | ШВВ 02 | ШВВ 02 | ШВВ 02 | ШВВ 02 | ШВВ 02 |
| Выключатель «Siemens» | Тип | ЗАН 5 | ЗАН 5 | ЗАН 5 | ЗАН 5 | ЗАН 5 | ЗАН 5 | ЗАН 5 | ЗАН 5 | ЗАН 5 |
| | Номинальный ток | 800 | 800 | 800 | 800 | 800 | 800 | 800 | 800 | 800 |
| Трансформатор тока ГОЛ-10 | | | | | | | | | | |
| Трансформатор напряжения | | | | | | | | | | |
| Трансформатор собственных нужд | | | | | | | | | | |

| | | | | | | | | | |
|----------------------------|---|------|---------|-----------|------|---|------|------|---|
| 00.12162.001.ЭС2 | | | | | | | | | |
| Проект ПС 110/10кВ «Южная» | | | | | | | | | |
| Изм. | № | Дата | Исполн. | Проверен. | Дет. | | | | |
| Разработ. | | | | | | | | | |
| Провер. | | | | | | | | | |
| Руковод. | | | | | | | | | |
| Инженер. | | | | | | | | | |
| М.инженер. | | | | | | | | | |
| | | | | | | Схема электрических соединений | Лист | Лист | Листов |
| | | | | | | Схема электрических соединений ПС «Южная» | ДЛ | | Каб. АТУ Энергопарк на фидере «Электрические» |

01.12.162.001.ЭС2



Спецификация оборудования

| Поз. | Обозначение | Наименование | Количество | Масса ед. кб. | Примечание |
|------|-------------|---|------------|---------------|------------|
| 1 | 2 | 3 | 4 | 5 | 6 |
| 1 | | Трансформатор силовой ТДН-16000/110-У1, Ун ДТ-11 | 2 | | |
| 2 | | Выключатель элегазовый 110кВ, Т250А, ЗАР-1 ДТ-123 | 2 | | |
| 3 | | Разъединитель поворотного типа 110кВ, 1000А, с одним заземляющим ножом СSBИ-АМ-123 | 2 | | |
| 4 | | Разъединитель поворотного типа 110кВ, 1000А, с двумя заземляющими ножками СSBИ-2АМ-123 | 4 | | |
| 5 | | Однофазные заземлители нейтрали 110кВ силовых трансформаторов | 2 | | |
| 6 | | Однофазные трансформаторы напряжения 110кВ ЗАР-1 ДОВ-123 | 6 | | |
| 7 | | Однофазные ограничители перенапряжений 110кВ ЗЕР4 096 - 2РД31 - 1ДЕ1 | 6 | | |
| 8 | | Однофазные ограничители перенапряжений 110кВ ЗЕР4 096 - 2РД31 - 1ДЕ1 для нейтрали силовых трансформаторов | 2 | | |
| 9 | | Однофазные ограничители перенапряжений 10кВ | 6 | | |
| 10 | | Гирлянда изоляторов натяжная 10кВ ПС70Е | 12 | | |
| 11 | | Гирлянда изоляторов поддерживающая 10кВ ПС70Е | 6 | | |
| 12 | | Провод сталеалюминиевый ГОСТ 839-80, АС-120, м | 610 | 0,599 | |
| 13 | | Шкаф щелей оборава бокс элегазового выключателя ШОВ-2 | 2 | | |
| 14 | | Шпиль зажимов ШЗВ-120 | 4 | | |
| 15 | | Зажим аппаратный пружинный АО-150-1 | 6 | | |
| 16 | | к выключателю прямой | 6 | | |
| 17 | | к выключателю угловой | 6 | | |
| 18 | | к разъединителю прямой | 18 | | |
| 19 | | к разъединителю угловой | 30 | | |
| 20 | | к ограничителю перенапряжений прямой | 4 | | |
| 21 | | к трансформатору напряжения угловой | 6 | | |
| 22 | | Зажим ответственный пружинный АО-150-1 | 48 | | |
| 23 | | Ограждение из бетона для аварийного сброса масла | | | |
| 24 | | Азбест-цементная труба диаметром 300мм для отвода масла | | | |
| 25 | | Трансформатор силовой ТМ-100/10-УХЛ1, УГн-0 | 2 | | |
| 26 | | Емкость для масла | | | |

| | | | | | |
|-----------------------------------|------|------|---------|--------------------|--------|
| 00.12.162.001.ЭС1 | | | | | |
| Проект ПС 110/10кВ «Южная» | | | | | |
| Изм. | Кол. | Лист | Масштаб | Подпись | Дата |
| Разраб. | | | | | |
| Проект. | | | | | |
| руковод. | | | | | |
| Зап.кар. | | | | | |
| И.компр. | | | | | |
| План-разрез ПС | | | | Страниц | Лист |
| План ОРУ-110кВ и ЗРУ-10 кВ | | | | КаЗГАТУ Энергофиз | Листов |
| | | | | кафедра | |
| | | | | «Электроснабжения» | |